

1 概述

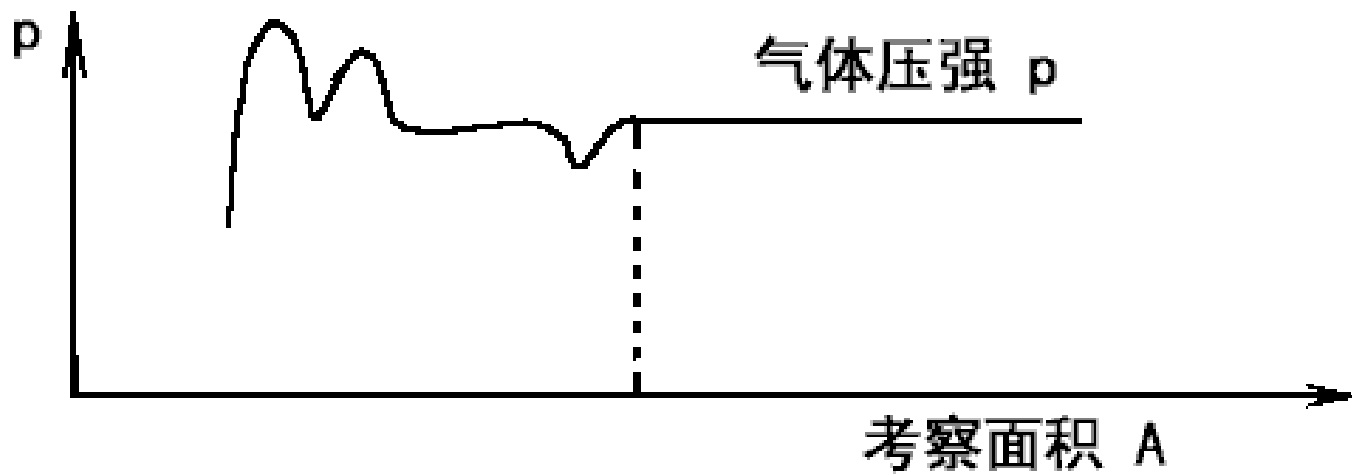
1.1 流体流动的考察方法

1.1.1 连续性假定

固体力学：考察对象——单个固体，离散介质

流体力学：考察对象——无数质点，连续介质

例如点压强的考察 p (正压力/面积)



质点——含有大量分子的流体微团，其尺寸
远小于设备尺寸、远大于分子平均自由程

可能性：1mm³ 常温常压气体含 2.5×10^{15} 个
分子，分子平均自由程为0.1 μm量级

连续性假定——流体是由无数质点组成的，彼此间
没有间隙，完全充满所占空间的连续介质

目的：可用微积分和连续函数来描述流体的各种
参数

1.1.2 考察方法——拉格朗日法和欧拉法

拉格朗日法——选定流体质点，跟踪观察描述
运动参数

欧拉法——固定空间位置，考察经过此地的流体
运动参数

轨线与流线的区别

轨线是同一流体质点在不同时刻所占空间位置的
连线

流线是同一瞬时不同流体质点的速度方向连线

系统与控制体的区别

系统是包含众多流体质点的集合，与外界
无质量交换

控制体是作考察对象的某一固定空间体积，与外界可有质量交换

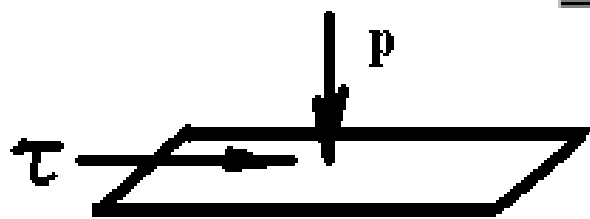
化工原理关心设备中发生的事情，较多采用欧拉法

1.2 流体受力

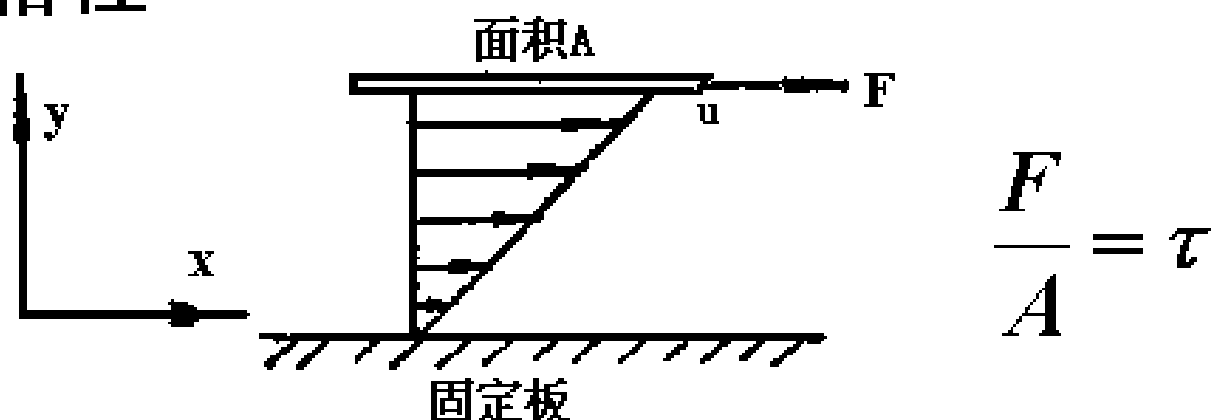
1.2.1 体积力：作用于体积中的各个部位，力的大小与体积（质量）有关。

如：重力，惯性力，离心力

1.2.2 表面力：分解成——垂直于作用面——压力 p
——平行于作用面——剪切力 τ



1.2.3 流体粘性



粘性的物理本质——分子间引力和分子热运动、碰撞

牛顿粘性定律 $\tau = \mu \frac{du}{dy}$

表明①流体受剪切力必定运动

②牛顿型流体与非牛顿型流体的区别

$\mu = f(\text{物性, 温度})$ $t \uparrow, \mu_{\text{气}} \uparrow, \mu_{\text{液}} \downarrow$

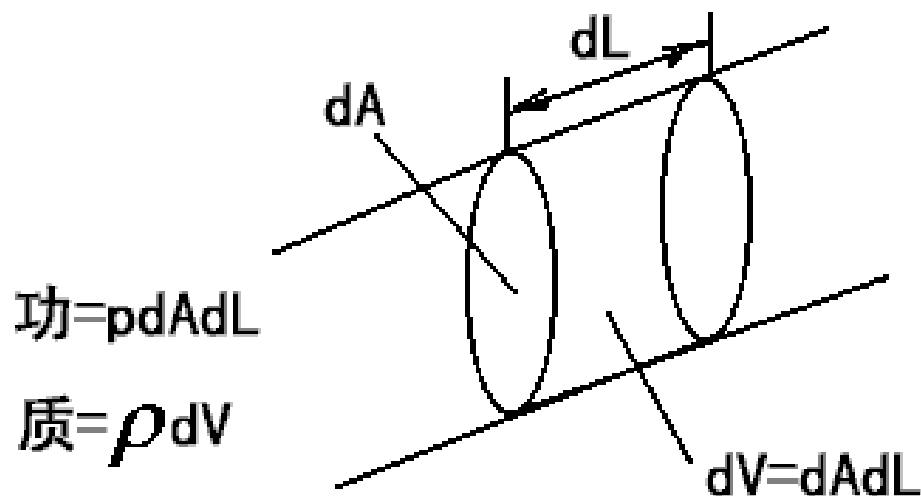
理想流体 假定 $\mu = 0$

1.3 流体流动的机械能

$\frac{u^2}{2}$ 为单位质量流体的动能 ($= \frac{m \frac{u^2}{2}}{m}$)

gz 为单位质量流体的位能 ($= \frac{mgz}{m}$)

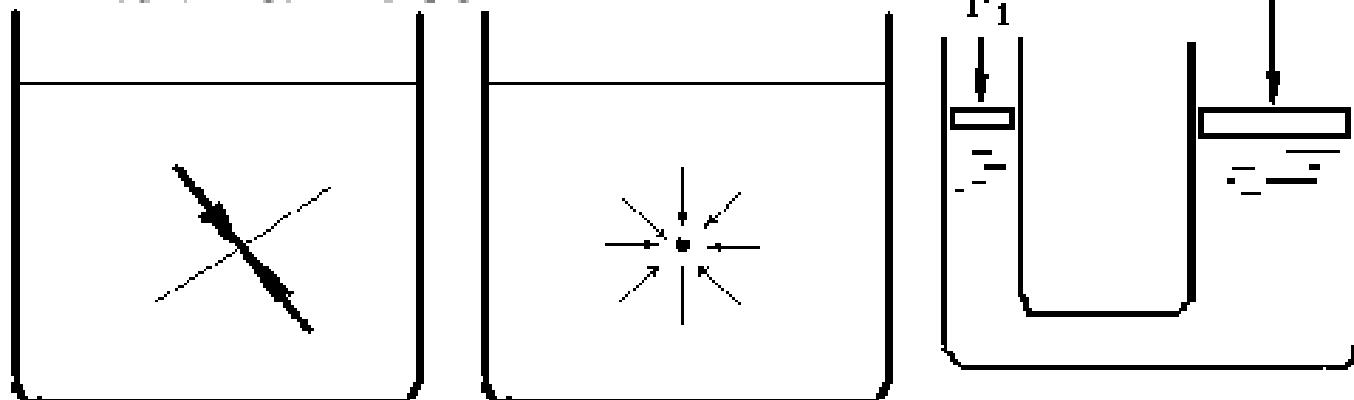
$\frac{P}{\rho}$ 为单位质量流体的压强能 ($= \frac{P dAdl}{\rho dV}$)



2 流体静力学

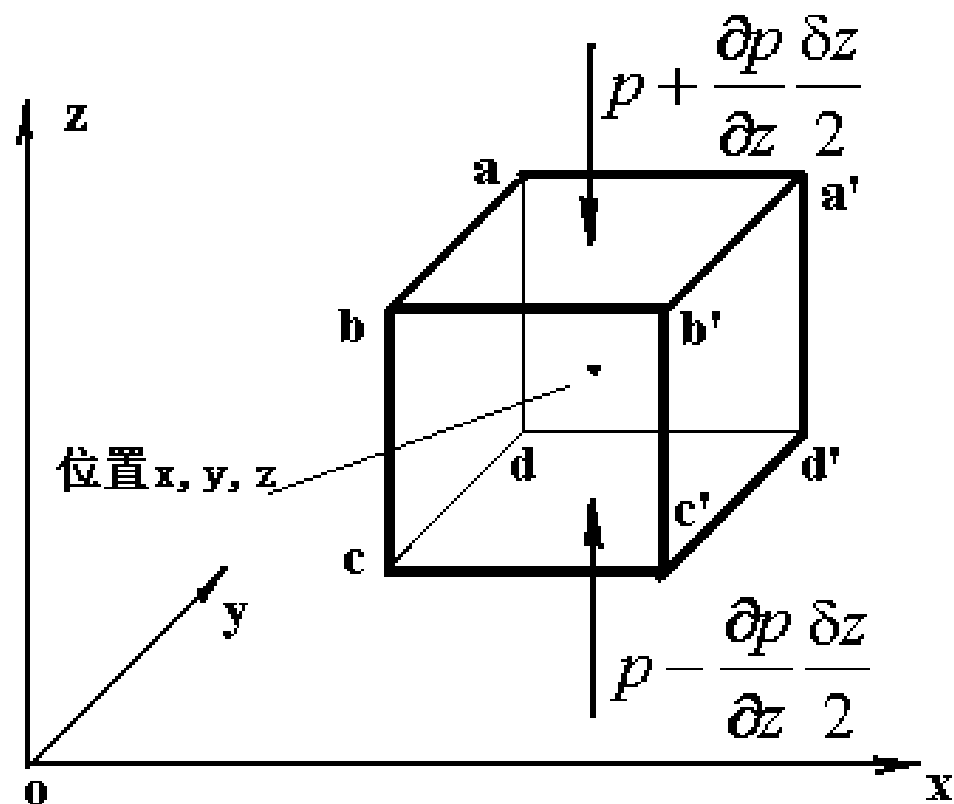
2.1 静止流体的压强分布

2.1.1 静压强的特性



- ① 静止流体中任意界面上只受到大小相等方向相反的压力
- ② 作用于任意点所有不同方位的静压强在数值上相等
- ③ 压强各向传递

2.1.2 取控制体作力衡算



$$Z\rho dV + \left[\left(p + \frac{\partial p}{\partial z} \frac{\delta z}{2} \right) - \left(p - \frac{\partial p}{\partial z} \frac{\delta z}{2} \right) \right] \delta x \delta y = 0$$

$$Z - \frac{1}{\rho} \frac{\partial p}{\partial z} = 0,$$

同样 $X - \frac{1}{\rho} \frac{\partial p}{\partial x} = 0, Y - \frac{1}{\rho} \frac{\partial p}{\partial y} = 0$

2.1.3 结合本过程特点解微分方程

重力场 $X=0, Y=0, Z=-g$

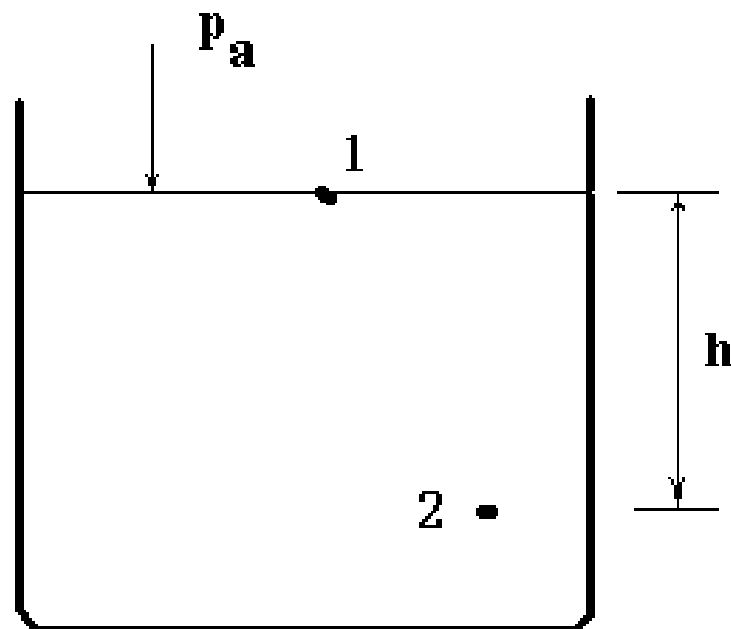
因 $\frac{\partial p}{\partial x} = 0, \frac{\partial p}{\partial y} = 0$ 则 $-g - \frac{1}{\rho} \frac{dp}{dz} = 0$

积分得 $p + \rho gz = \text{常数}$

或 $\frac{P_1}{\rho} + gz_1 = \frac{P_2}{\rho} + gz_2$

$$P_2 + \rho g z_2 = P_a + \rho g z_1$$

$$\begin{aligned} P_2 &= P_a + \rho g (z_1 - z_2) \\ &= P_a + \rho g h \end{aligned}$$



分析方法

- ①取控制体
- ②作力衡算
- ③结合本过程的特点，解微分方程

2.1.4 静力学方程应用条件

- ①同种流体且不可压缩(气体高差不大时仍可用)
- ②静止(或等速直线运动的流体横截面——均匀流)
- ③重力场
- ④单连通

2.2 流体的总势能

总势能 $\frac{\mathcal{P}}{\rho} = \frac{p}{\rho} + gz$ (压强能与位能之和)

虚拟压强 $\mathcal{P} = p + \rho gz$

2.3 压强的表示方法

2.3.1 单位: $N/m^2 = Pa$, $10^6 Pa = 1MPa$

流体柱高度 ($p = \rho gh$)

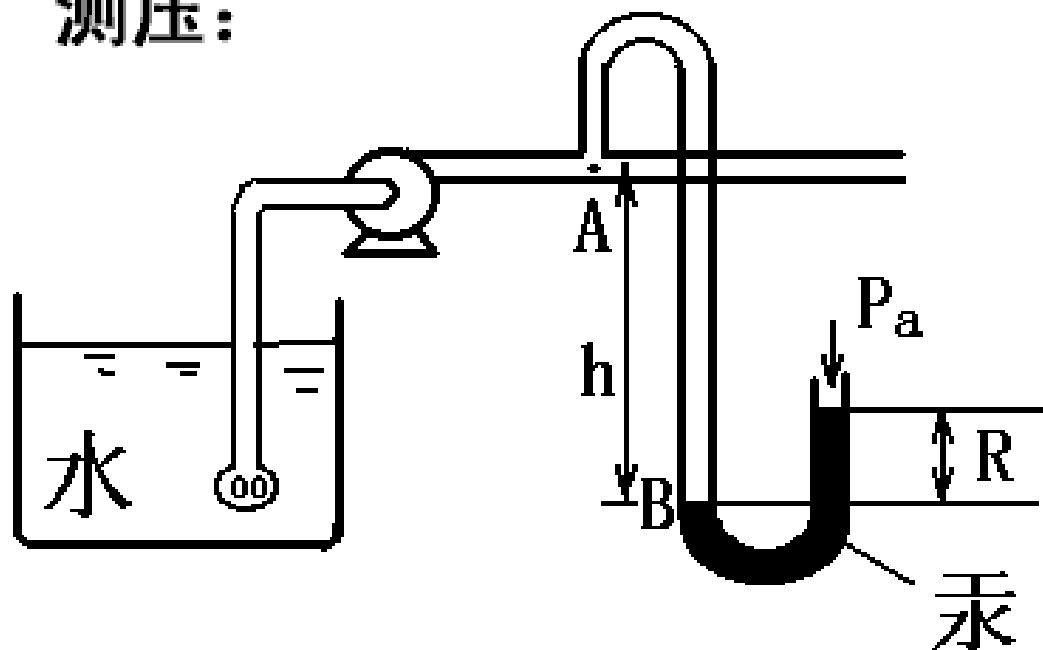
$$1atm = 1.013 \times 10^5 Pa = 760mmHg \\ = 10.33mH_2O$$

2.3.2 基准: 表压=绝对压-大气压

真空度=大气压-绝对压

2.4 静力学方程的工程应用

2.4.1 测压:



已知: $R=180\text{mm}$, $h=500\text{mm}$

求: $p_A=?$ (绝压), (表压)

解: $p_B = p_a + \rho_{\text{汞}} g R$

$$p_B = p_A + \rho_{\text{水}} g h$$

$$p_A = p_a + \rho_{\text{汞}} g R - \rho_{\text{水}} g h$$

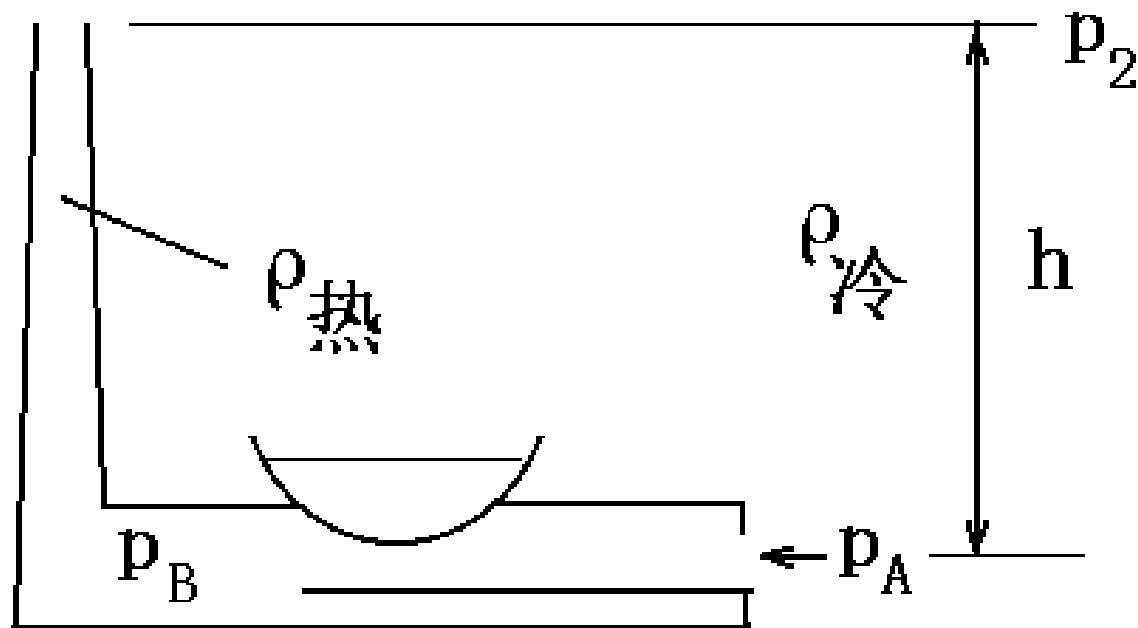
$$= 1.013 \times 10^5 + 13600 \times 9.81 \times 0.18 \\ - 1000 \times 9.81 \times 0.5$$

$$= 1.204 \times 10^5 \text{ Pa (绝压)}$$

$$p_A = 1.204 \times 10^5 - 1.013 \times 10^5$$

$$= 1.91 \times 10^4 \text{ Pa (表压)}$$

2.4.2 烟囱拔烟:



$$p_A = p_2 + \rho_{\text{冷}} gh$$

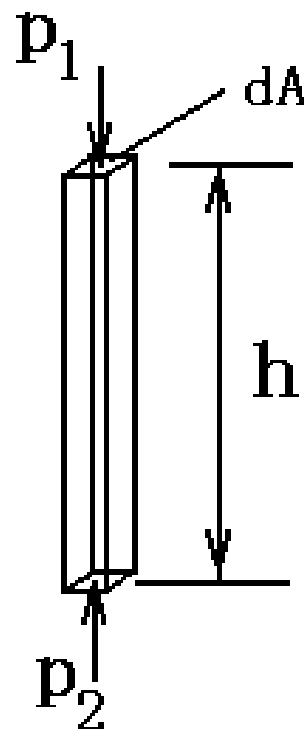
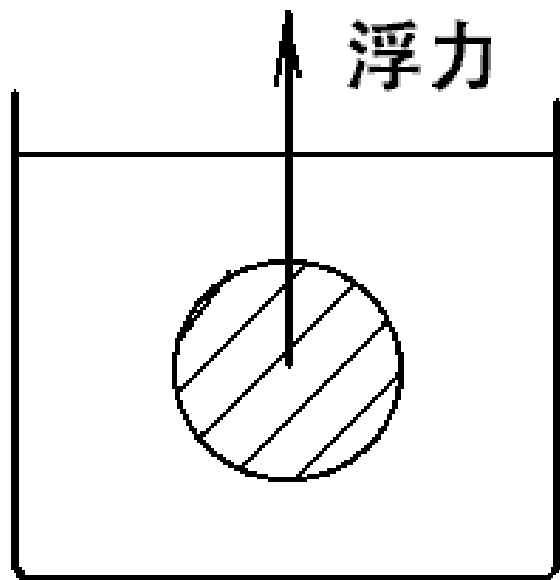
由于 $\rho_{\text{冷}} > \rho_{\text{热}}$

$$p_B = p_2 + \rho_{\text{热}} gh$$

则 $p_A > p_B$ 所以拔风

烟囱拔风的必要条件是什么?

2.4.3 浮力的本质:

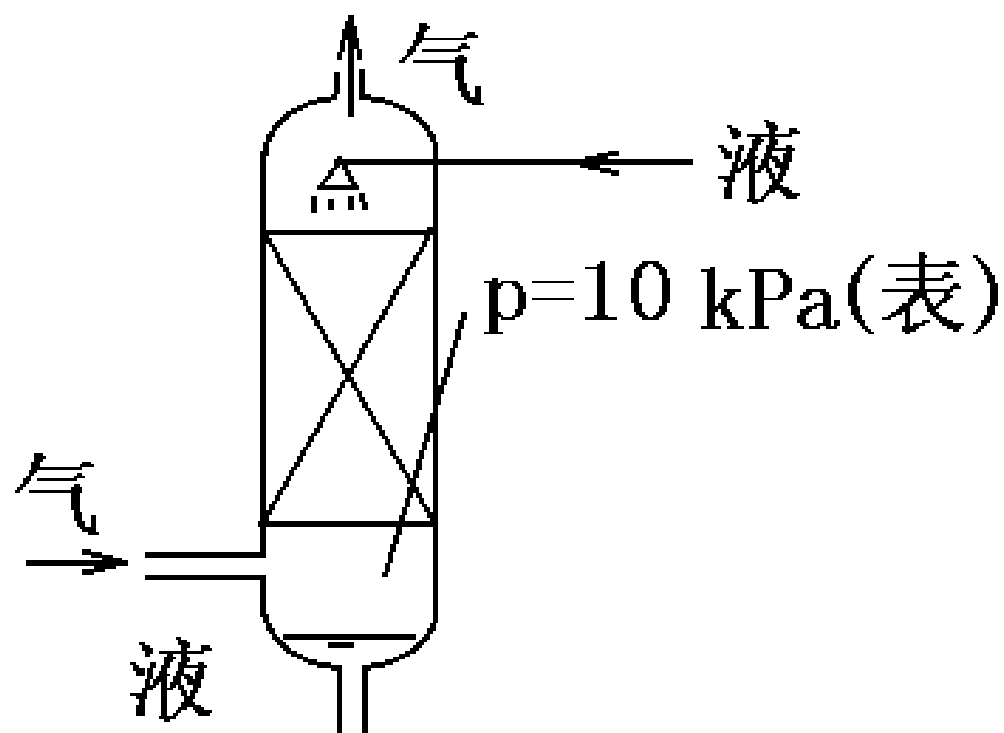


物体上下所受压强不同，由此产生浮力

取微元：压差力 $= (p_2 - p_1) dA = \rho g h dA = \rho g dV_{\text{排}}$

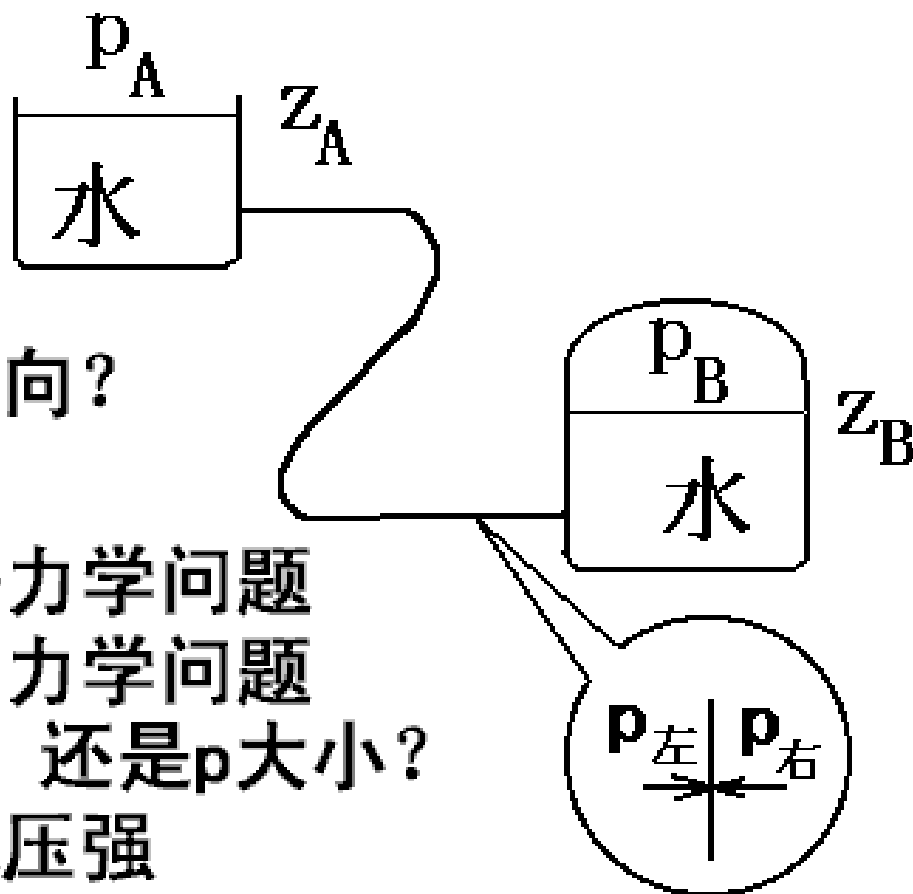
任一物体都可分成无数细条， $V_{\text{排}} = \sum dV_{\text{排}}$

2.4.4 液封:



设备中压力要保持，液体要排出，须用液封

2.4.5 流向判别:



流水的有无是静力学问题

流水的多少是动力学问题

判据是看 z 大小, 还是 p 大小?

同一水平高度比压强

$$p_{左} = p_A + \rho g z_A = \mathcal{P}_A$$

$$p_{右} = p_B + \rho g z_B = \mathcal{P}_B$$

3 流体流动中的守恒原理

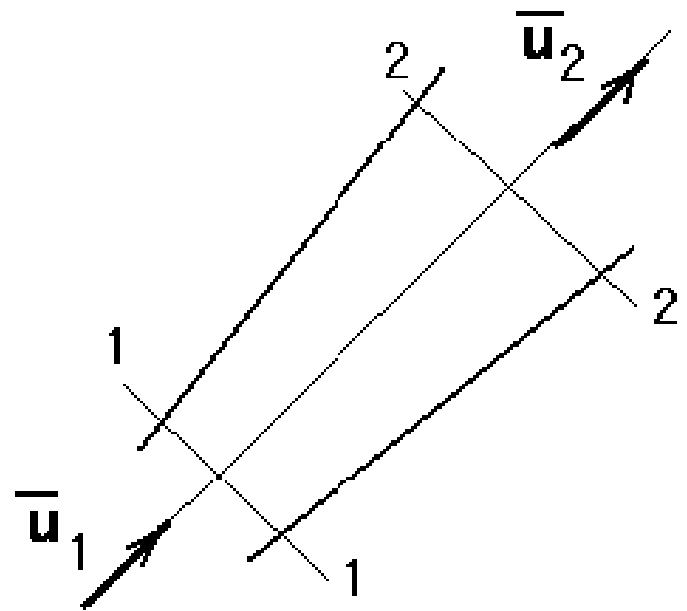
3.1 质量守恒

质量流量 $q_m = q_v \rho$

平均流速 $\bar{u} = \frac{q_v}{A}$

定态，不可压缩流体

$$\bar{u}_1 A_1 = \bar{u}_2 A_2$$



3.2 机械能守恒

3.2.1 牛顿第二定律：合外力=质量×加速度

考察流体流动的机械能变化，其特征是存在 $\frac{du}{dt}$

伯努利方程的物理意义：三项机械能之和为常数

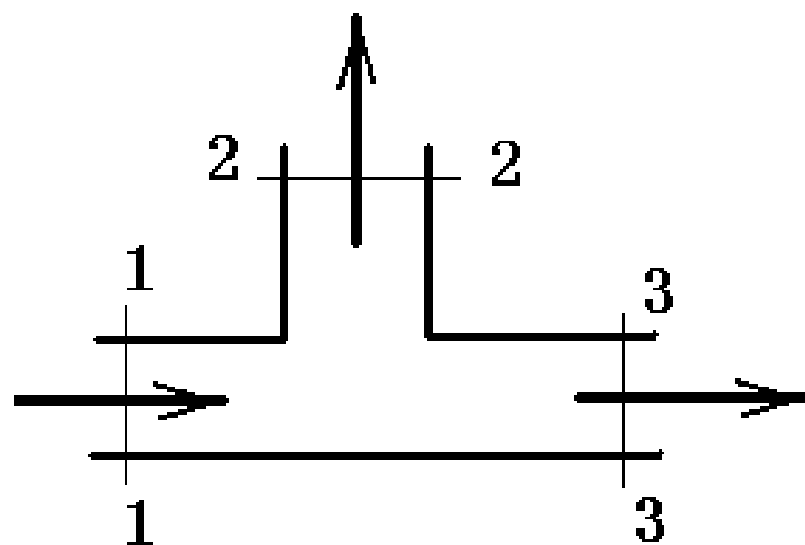
$$zg + \frac{p}{\rho} + \frac{u^2}{2} = \text{常数},$$

$$\text{或 } z_1g + \frac{p_1}{\rho} + \frac{u_1^2}{2} = z_2g + \frac{p_2}{\rho} + \frac{u_2^2}{2}, \quad \text{J/kg}$$

$$z + \frac{p}{\rho g} + \frac{u^2}{2g} = \text{常数}, \quad \text{J/N=m}$$

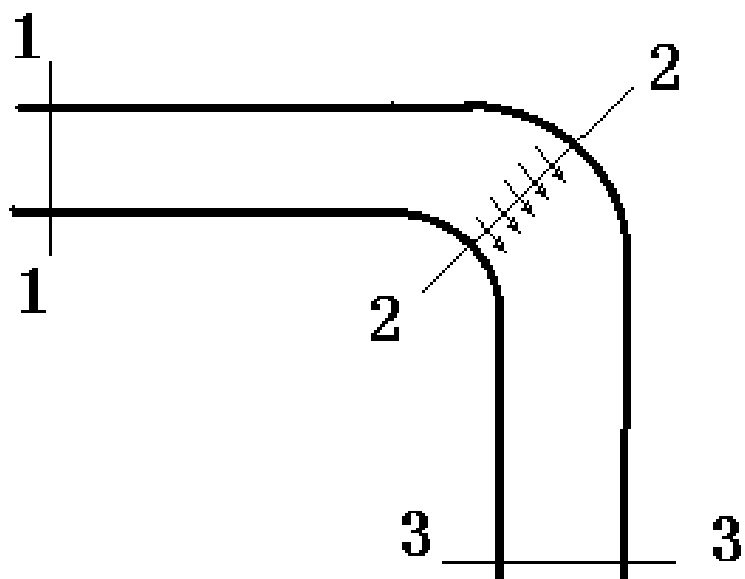
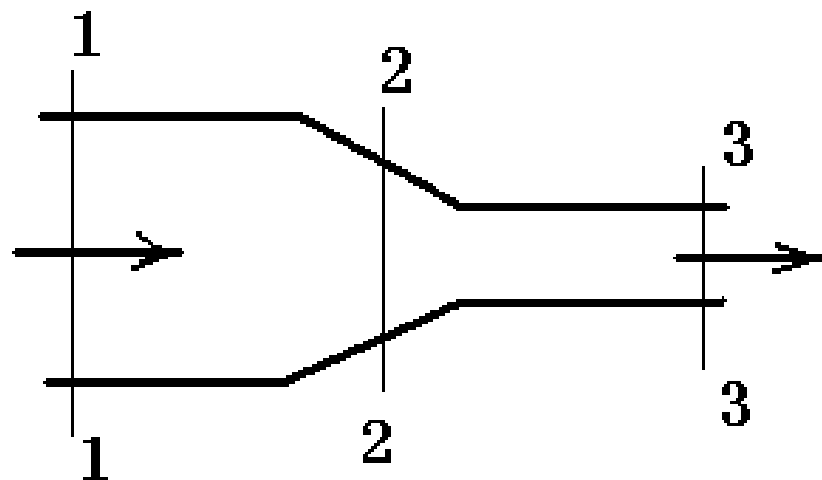
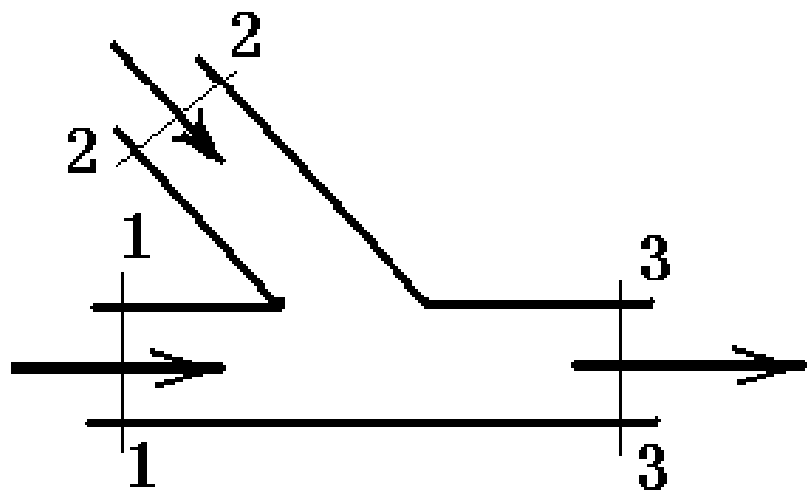
得机械能衡算式：
$$\frac{p_1}{\rho} + \frac{\alpha_1 u_1^2}{2} = \frac{p_2}{\rho} + \frac{\alpha_2 u_2^2}{2} + h_f$$

3.2.3 应用时注意：



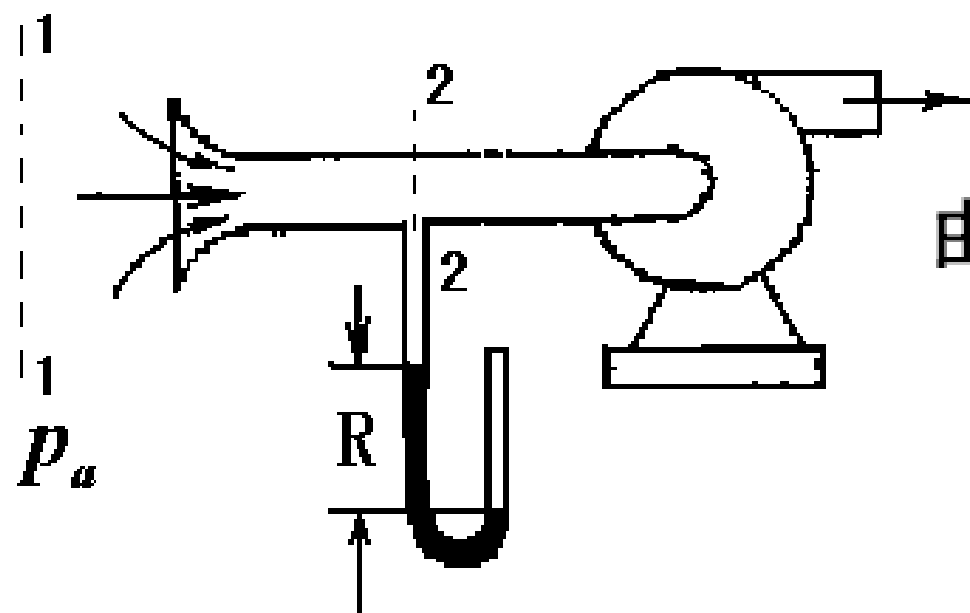
$$u_1 A_1 = u_2 A_2 + u_3 A_3$$

$$z_1 g + \frac{p_1}{\rho} + \frac{u_1^2}{2} = z_2 g + \frac{p_2}{\rho} + \frac{u_2^2}{2} \left(+ z_3 g + \frac{p_3}{\rho} + \frac{u_3^2}{2} \right)$$



3.2.4 工程应用:

(1) 测风量



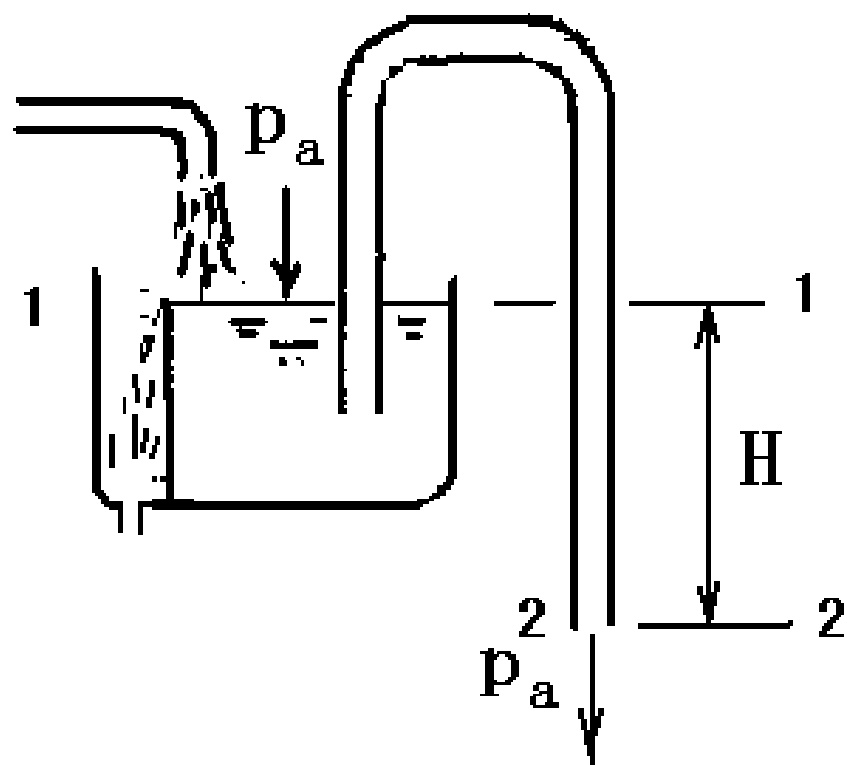
由1-1至2-2排方程:

$$\frac{P_a}{\rho} = \frac{P_2}{\rho} + \frac{u_2^2}{2}$$

压差计: $P_a = P_2 + \rho_i g R$

可得:
$$u_2 = \sqrt{\frac{2(P_a - P_2)}{\rho}} = \sqrt{2gR \frac{\rho_i}{\rho}}$$

(2) 虹吸

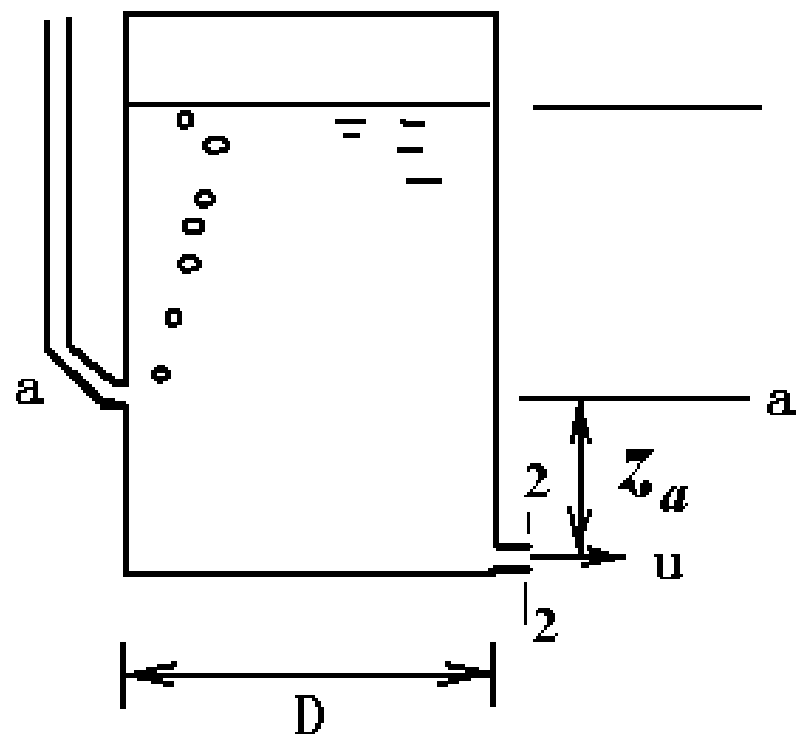


从1-1至2-2排方程

$$\frac{p_a}{\rho} + Hg = \frac{p_a}{\rho} + \frac{u_2^2}{2}$$

$$u_2 = \sqrt{2gH}$$

(3) 马利奥特容器



求水面在a-a面以上
时的放水速度
由a-a面至出口小孔
截面2-2排方程

$$\frac{P_a}{\rho} + z_a g = \frac{P_a}{\rho} + \frac{u^2}{2}$$

这时的流动条件是定态的 $u = \sqrt{2gz_a}$

应用伯努利方程时所应注意的问题：

1. 看是否符合应用条件（连续流，满流）
2. 画示意图
3. 截面选取 平行流，已知量最多，
大截面 $u=0$

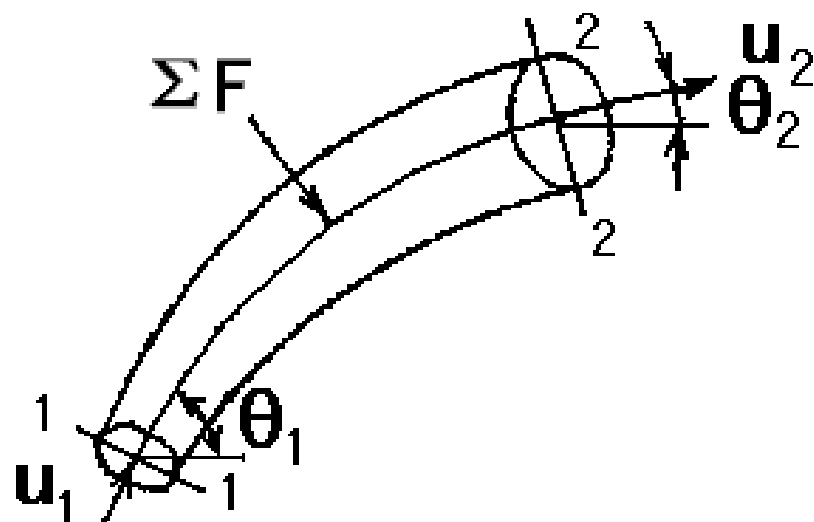
3.3 动量守恒

牛顿第二定律可写成：

$$F \Delta t = \Delta (mu)$$

取单位时间计：

$$F = \Delta (q_m u) = \sum_{\text{出}} q_m u - \sum_{\text{进}} q_m u$$



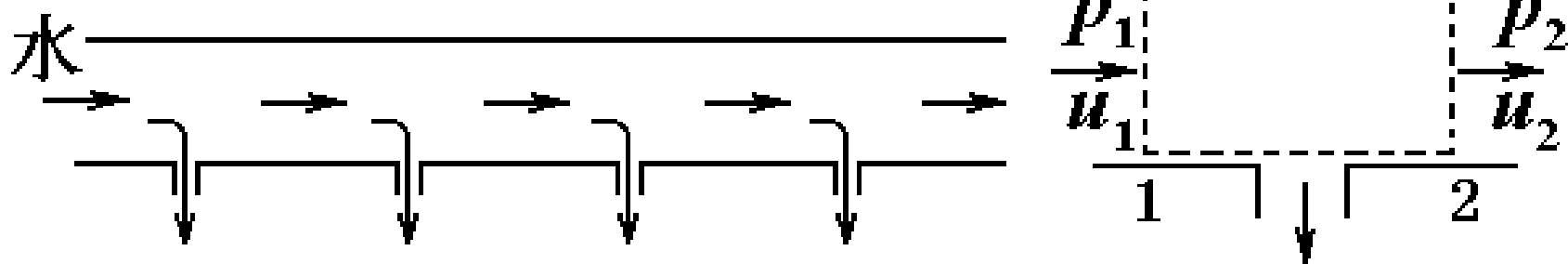
单进单出：

$$\begin{aligned} \Sigma F_x &= q_m (u_{2x} - u_{1x}) \\ \Sigma F_y &= q_m (u_{2y} - u_{1y}) \\ \Sigma F_z &= q_m (u_{2z} - u_{1z}) \end{aligned}$$

条件：定态流动，管截面上速度均匀分布

工程应用:

(1) 流量分配



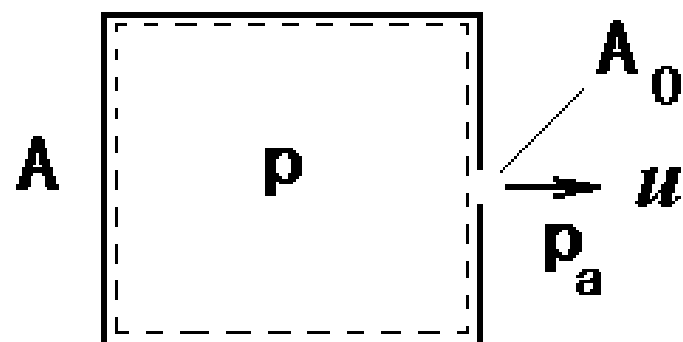
忽略壁面摩擦阻力, 按x方向动量守恒式

$$P_1 A - P_2 A = \rho u_2^2 A - \rho u_1^2 A$$

因水从支管中流出, $u_2 < u_1$, 所以, $P_2 > P_1$

$$P_2 - P_1 = \rho (u_1^2 - u_2^2)$$

(2) 压力射流



根据动量守恒，压力射流的小孔流速是多少呢？

解：划虚线控制体，按水平方向列动量守恒式

$$Ap - (A - A_0)p - A_0p_a = q_m u - 0 = A_0 \rho u^2$$

这样 $A_0(p - p_a) = A_0 \rho u^2$ ，得 $u = \sqrt{\frac{p - p_a}{\rho}}$

按实用形式， $u = C_0 \sqrt{\frac{2(p - p_a)}{\rho}}$ ，得 $C_0 = 0.7$

4 流体流动的内部结构

4.1 流动的类型

$$z_1 g + \frac{p_1}{\rho} + \frac{u_1^2}{2} = z_2 g + \frac{p_2}{\rho} + \frac{u_2^2}{2} + h_f$$

对于水平直管, $h_f = \frac{p_1 - p_2}{\rho} = \frac{\Delta p}{\rho}$

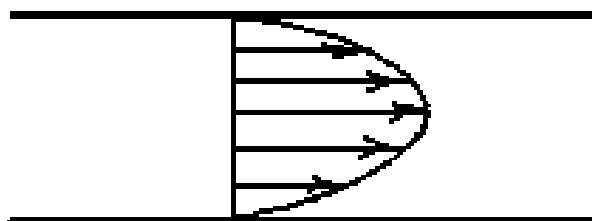
人们发现两种规律: $\Delta p \propto u^1$, $\Delta p \propto u^{1.75 \sim 2}$

雷诺实验 表明存在两种流动类型

判断依据: 雷诺数 $Re = \frac{du\rho}{\mu}$

4.1.1 层流和湍流的区别:

层流



①

$$\frac{\bar{u}}{u_{\max}} = 0.5$$

②

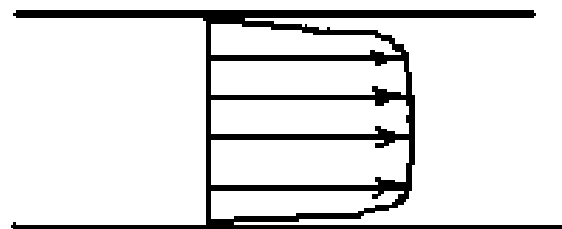
③ 无微团作径向运动

④ 层流层从中心到管壁

$$\tau = \mu \frac{du}{dy}$$

⑤

湍流



$$\frac{\bar{u}}{u_{\max}} \approx 0.8$$

有微团作径向运动

层流内层附壁

$$\tau = (\mu + \mu') \frac{du}{dy}$$

- | | | |
|---|------------------------------------|------------------------------------|
| ⑥ | h_f 与 $\frac{\varepsilon}{d}$ 无关 | h_f 与 $\frac{\varepsilon}{d}$ 有关 |
| ⑦ | $h_f \propto u^1$ | $h_f \propto u^{1.75 \sim 2}$ |
| ⑧ | 传热、传质慢 | 传热、传质快 |

层流和湍流的本质区别：

是否存在速度、压强的脉动性

4.1.2 流型判据

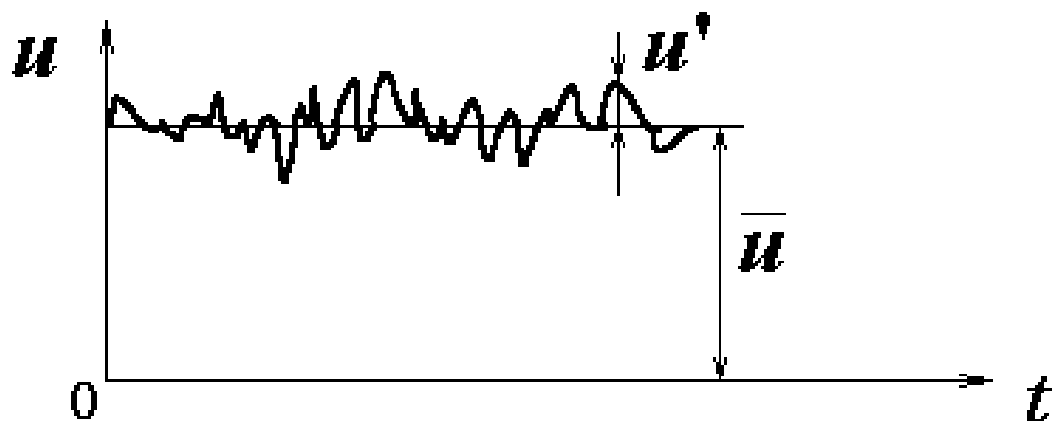
$Re < 2000$ 层流

$2000 < Re < 4000$ 或为层流，或为湍流

$Re > 4000$ 湍流

4.2 湍流的基本特征

4.2.1 时均速度和脉动速度



速度=时均速度+脉动速度 $u = \bar{u} + u'$

4.2.2 湍流的强度和尺度

湍流：主体流动+各种大小、强弱的旋涡

湍流强度 $I_x = \sqrt{u_x'^2}$ 或 $I_x = \sqrt{u_x'^2} / \bar{u}$

湍流尺度 $l = \int_0^\infty R dy$

两点间的相关系数 $R = \frac{\overline{u'_{x1} u'_{x2}}}{\sqrt{\overline{u'^2_{x1}}} \sqrt{\overline{u'^2_{x2}}}}$

两点间的距离为 y

4.2.3 湍流粘度 μ' :

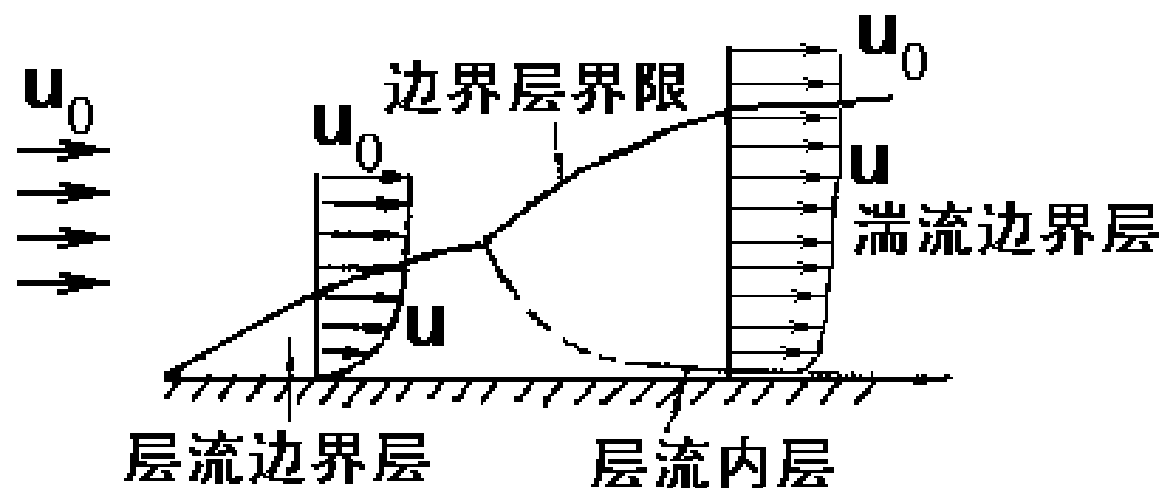
$$\tau = (\mu + \mu') \frac{du}{dy}$$

μ' 与流动状况有关，与物性无关

4.3 边界层及边界层脱体

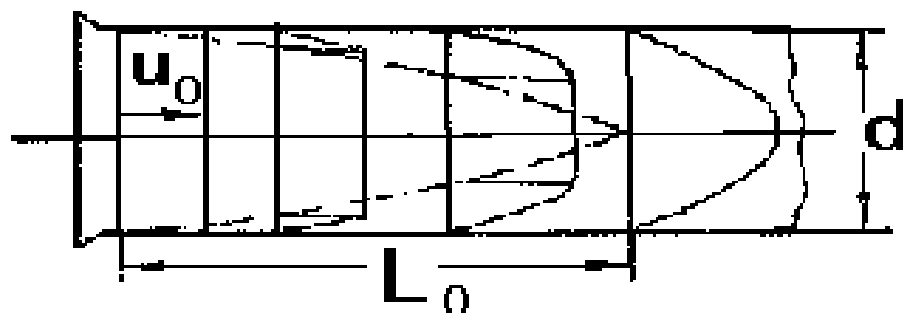
4.3.1 边界层

实际流体 $\mu \neq 0$ ，壁面无滑脱

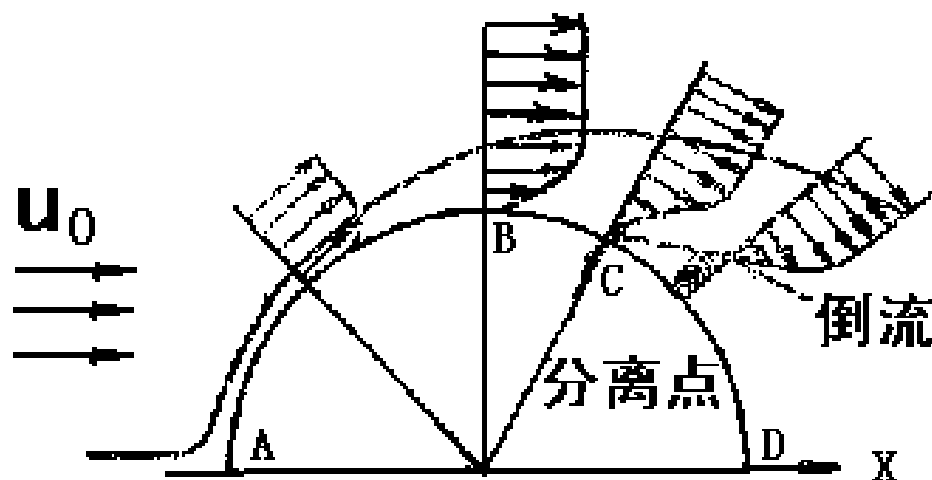


边界层——流动流体受固体壁面阻滞而造成速度梯度的区域

圆管入口段阻力大、
传热、传质快



4.3.2 边界层脱体



流体绕过
圆柱的流动

边界层脱体的后果:

1. 产生大量的旋涡,
2. 造成较大能量损失

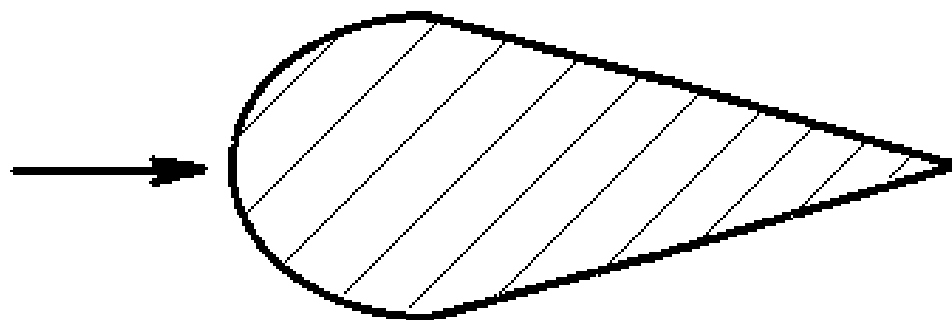
边界层脱体的条件:

1. 逆压强梯度
2. 外层动量来不及传入

如: 平板不会发生脱体 (无倒压区)

流线型物体也不发生脱体

(尾部收缩缓慢, 动量来得及传入)



4.4 圆管内流体运动的数学描述

数学描述方法：

- ①取控制体（微分控制体或积分控制体）
- ②作力（热量、质量）衡算
- ③结合本过程的特征方程（如 $\tau = \mu \frac{du}{dy}$ ）解方程
- ④将结果整理成所需要的形式

4.4.1 取控制体作力衡算

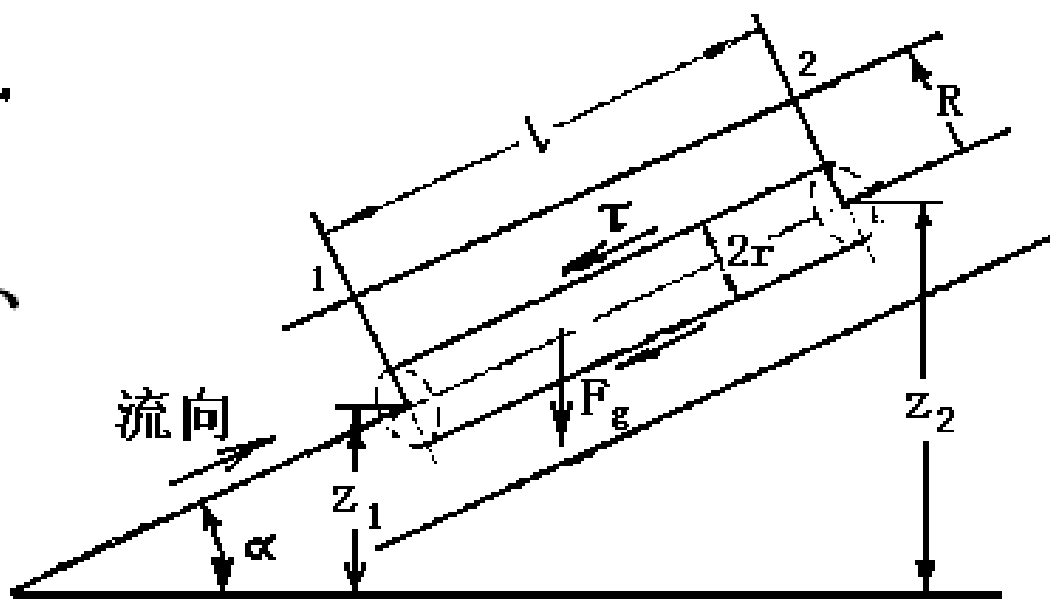
$$(p_1 - p_2) \pi r^2 - \pi r^2 l \rho g \cdot \sin \alpha - 2 \pi r l \tau = 0$$

$$l \cdot \sin \alpha = z_2 - z_1$$

得, $(p_1 - p_2) r = 2 l \tau$

或 $\tau = \frac{p_1 - p_2}{2l} r$

此式与流体性质、
流动类型无关



4.4.1 取控制体作力衡算

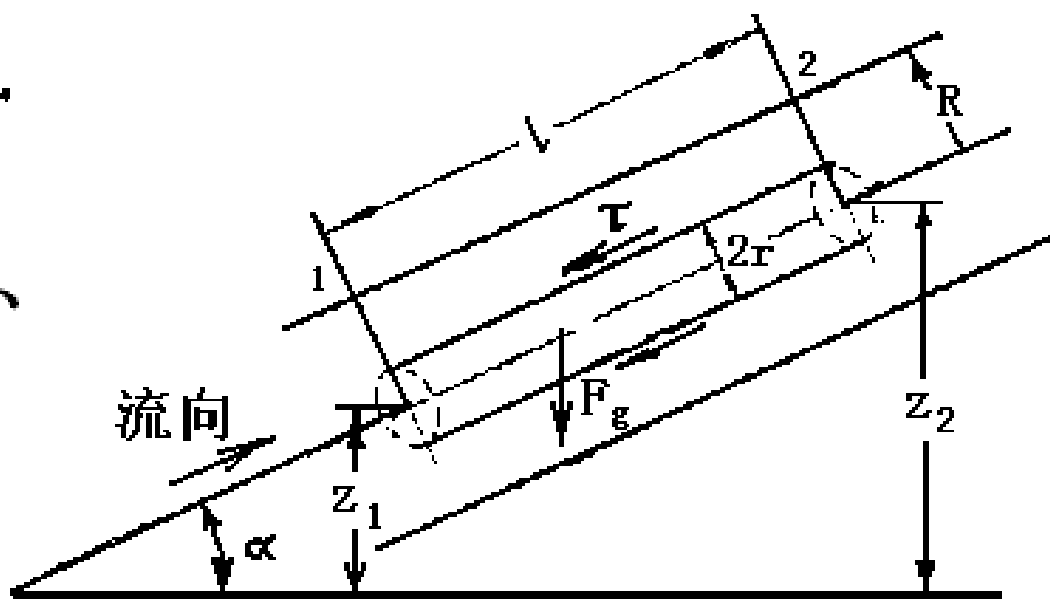
$$(p_1 - p_2) \pi r^2 - \pi r^2 l \rho g \cdot \sin \alpha - 2 \pi r l \tau = 0$$

$$l \cdot \sin \alpha = z_2 - z_1$$

得, $(p_1 - p_2) r = 2 l \tau$

或 $\tau = \frac{p_1 - p_2}{2l} r$

此式与流体性质、
流动类型无关



5 阻力损失

5.1 两种阻力损失

划分：直管阻力损失（沿程阻力损失）

局部阻力损失（流体流经管件、阀件的阻力损失）

5.1.1 直管阻力损失

影响因素有三种：①物性因素 ρ ， μ

②设备因素 d ， l ， ε

③操作因素 u

机械能衡算
$$\frac{p_1}{\rho} + \frac{u_1^2}{2} = \frac{p_2}{\rho} + \frac{u_2^2}{2} + h_f$$

对于直管， $u_1 = u_2$ ，
$$h_f = \frac{p_1 - p_2}{\rho} = \frac{\Delta p}{\rho}$$

5.1.2 泊谔叶方程

层流时, 已得 $u_{\max} = \frac{p_1 - p_2}{4\mu l} R^2 = 2u$

得 $h_f = \frac{\Delta p}{\rho} = \frac{32\mu l}{\rho d^2}$

应用条件: ①牛顿流体

②层流状态

③圆直管速度分布稳定段 (非入口段)

层流直管阻力也可写成

$$h_f = \left(\frac{64}{\text{Re}}\right) \left(\frac{l}{d}\right) \left(\frac{u^2}{2}\right)$$

5.2 湍流直管阻力损失

实验研究方法:

基本要求: 由小见大, 由此及彼

因次论指导下的实验研究方法主要步骤:

① 析因实验——找出主要影响因素

$$h_f = f(d, l, \mu, \rho, u, \varepsilon)$$

若按每个变量做五个点, 则实验工作量惊人(5^6 次)

② 无因次化——减少工作量

因次——就是量纲

因次论的基本依据: 物理方程的因次一致性
力学范围内基本因次只有三个

质量[M], 长度[L], 时间[T]

其它因次均为导出因次, 如密度 $[ML^{-3}]$

$$h_f = f(d, l, \mu, \rho, u, \varepsilon)$$

选 d, u, ρ 为基本变量, 将 h_f, l, μ, ε 无因次化

$$\frac{h_f}{u^2} = \varphi\left(\frac{du\rho}{\mu}, \frac{l}{d}, \frac{\varepsilon}{d}\right)$$

③ 实验并数据处理

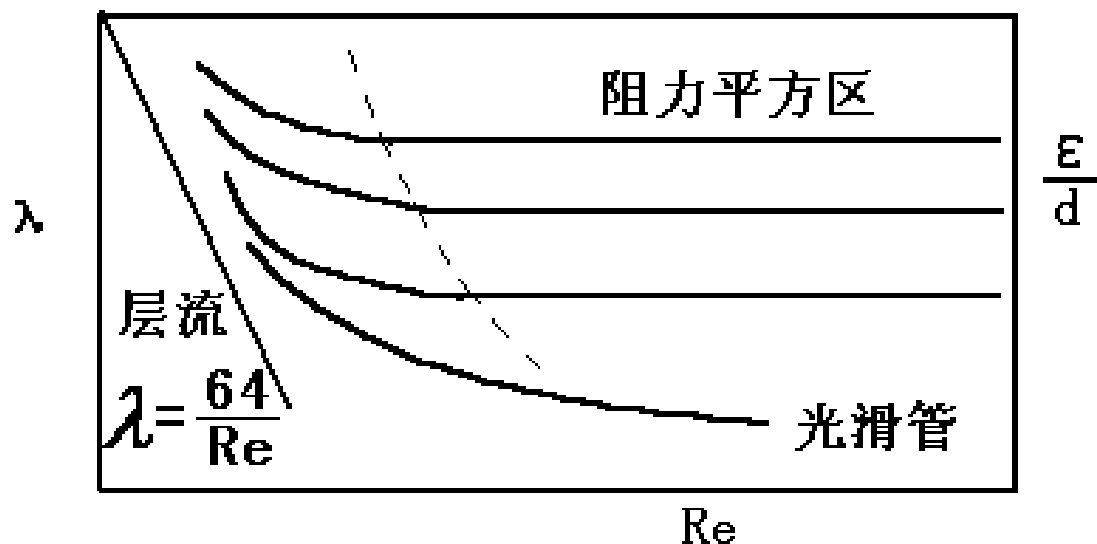
因 $h_f \propto l$, 习惯用 $u^2/2$ 表示速度头, 则

$$h_f = \lambda \frac{l}{d} \frac{u^2}{2} \quad \text{记摩擦系数} \quad \lambda = \varphi\left(\text{Re}, \frac{\varepsilon}{d}\right)$$

以不同的 Re (方便地调节 u), 不同的人工粗糙管
以水或空气就可做实验

5.3 摩擦系数

5.3.1 莫迪图



分析

层流时，管内全部为层流， λ 与 ϵ/d 无关

湍流时，层流内层厚度 δ ，

$\delta > \epsilon$ ，水力光滑管， λ 与 Re 有关，与 ϵ/d 无关

$\delta \sim \epsilon$ ， λ 与 Re 、 ϵ/d 都有关

$\delta < \epsilon$ ，完全湍流粗糙管， λ 与 Re 无关，与 ϵ/d 有关

同一根管子，可以既是光滑管，又是粗糙管

5.3.2 非圆形直管阻力损失

用当量直径 d_e

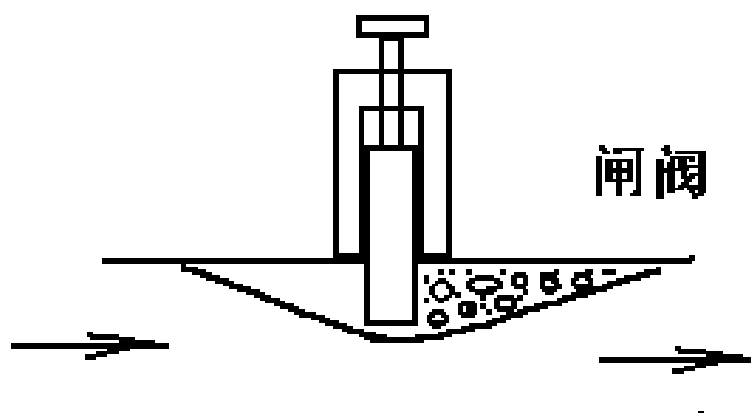
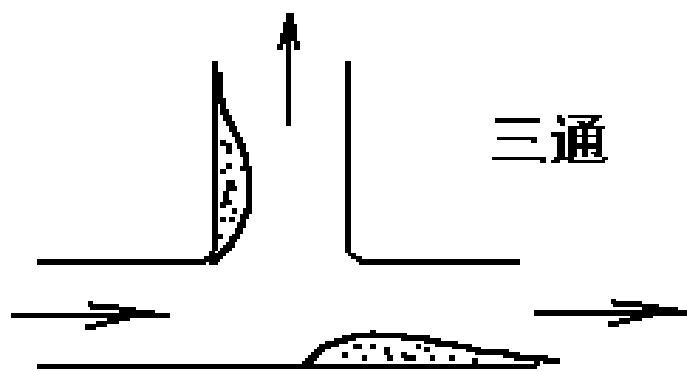
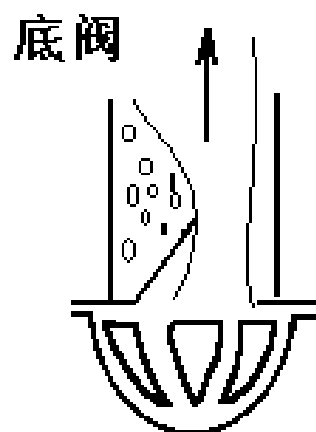
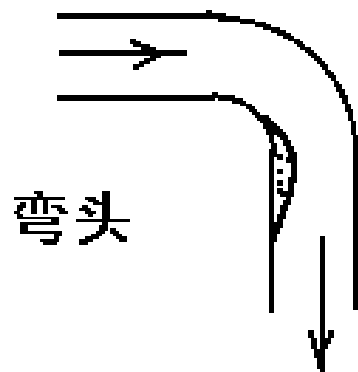
$$d_e = \frac{4 \times \text{管道截面积}}{\text{浸润周边}} = \frac{4A}{\Pi}$$

这里 d_e 仅用于 $h_f = \lambda \frac{l}{d_e} \frac{u^2}{2}$ 和 $\text{Re} = \frac{d_e u \rho}{\mu}$

速度 u 为实际平均速度，而 $u \neq \frac{q_v}{\pi d_e^2 / 4}$

5.4 局部阻力损失

管件阀件处流道变化大，多发生边界层脱体，产生大量旋涡，消耗了机械能



5.4.1 局部阻力计算式

工程上取 $h_f = \zeta \frac{u^2}{2}$, ζ ——阻力系数

或 $h_f = \lambda \frac{l_e}{d} \frac{u^2}{2}$, l_e ——当量长度

实测的 ζ 和 l_e 已成图表, 供设计使用

注意: 1. 两种方法并不一致, 都有近似

2. 计算所取速度要看图表规定

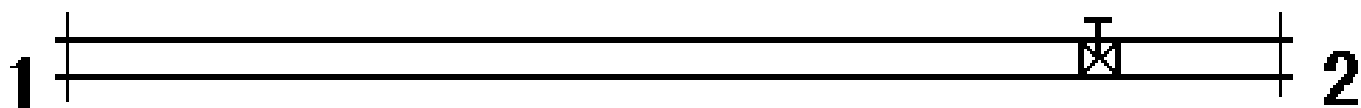
阻力的单位有三种:

- ① 损失压降 N/m^2
- ② 损失能量 J/kg
- ③ 损失压头 $\text{J/N}=\text{m}$

工程计算(一) 水平管输油

在250kPa的压差下输送 $\rho = 800\text{kg/m}^3$, $\mu = 0.1\text{Pa}\cdot\text{s}$ 的油品, 管长 $l+l_e=10\text{km}$, 管内径 $d=300\text{mm}$ 。
求流量为多少 m^3/s ?

解: 画简图, 从1至2排机械能守恒式



$$\frac{P_1}{\rho} + \frac{u^2}{2} = \frac{P_2}{\rho} + \frac{u^2}{2} + \lambda \frac{l+l_e}{d} \frac{u^2}{2}$$

因 μ 较大, 可先设 $Re < 2000$, 层流 $\lambda = \frac{64}{Re}$

$$u = \frac{\Delta P d^2}{32 \mu (l + l_e)} = \frac{250000 \times 0.3^2}{32 \times 0.1 \times 10000} = 0.70 \text{ m/s}$$

验 $Re = \frac{du\rho}{\mu} = \frac{0.3 \times 0.7 \times 800}{0.1} = 1687 < 2000$

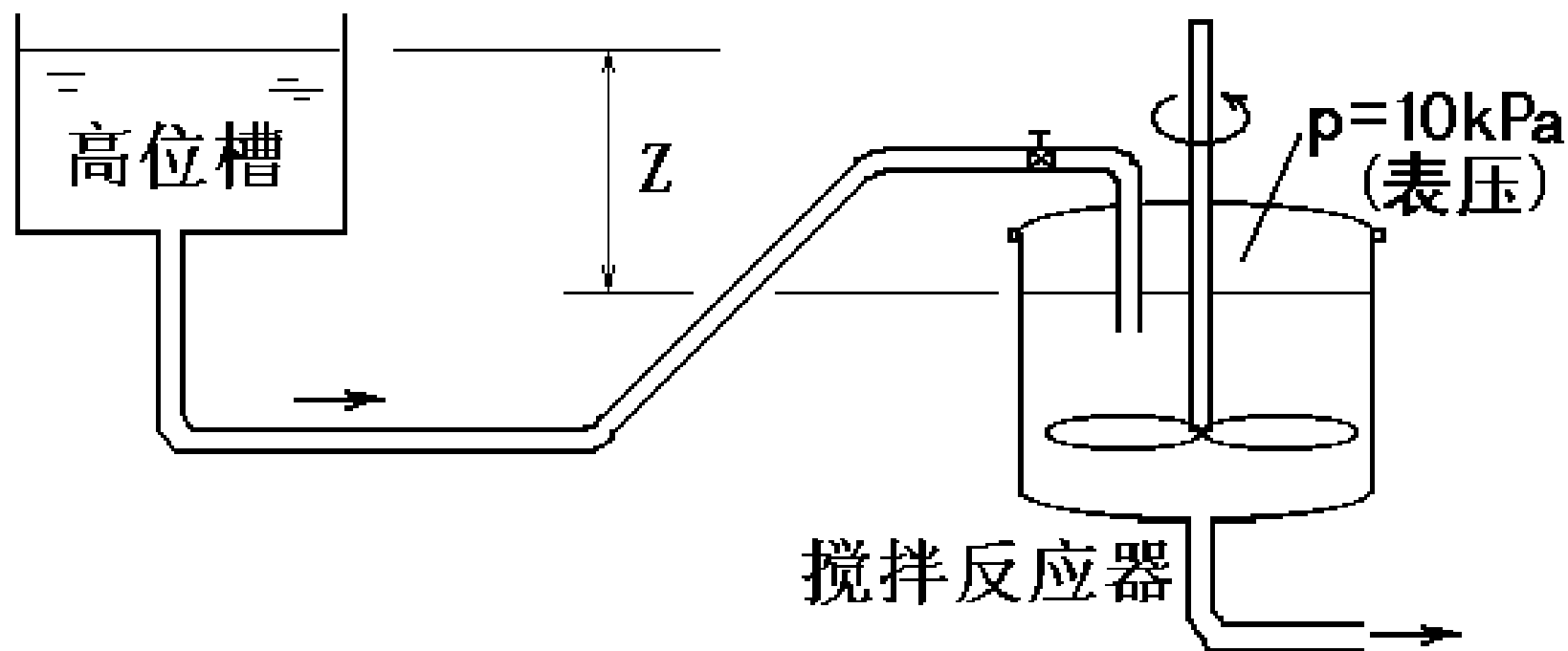
原设成立, 计算有效

$$q_v = \frac{\pi}{4} d^2 u = 0.785 \times 0.3^2 \times 0.7 = 0.050 \text{ m}^3/\text{s}$$

工程计算(二) 高位槽送液

由一高位槽向搅拌反应器送料, 料液性质同 20°C 的水, 流量 1.3 l/s , 镀锌铁管 $\phi 42 \times 3\text{ mm}$, 管长 10 m , 90° 弯头4个, 闸阀(全开)1个。

试求: Z 应为多少 m 。



$$\text{解: } u = \frac{4q_v}{\pi d^2} = \frac{4 \times 1.3 \times 10^{-3}}{3.14 \times 0.036^2} = 1.28 \text{ m/s}$$

$$\text{Re} = \frac{du\rho}{\mu} = \frac{0.036 \times 1.28 \times 1000}{0.001} = 4.61 \times 10^4$$

查 90° 弯头 $\zeta = 0.75$, 闸阀全开 $\zeta = 0.17$, 出口 $\zeta = 1$

取 $\varepsilon = 0.2 \text{ mm}$, $\varepsilon/d = 0.0056$, 查 $\lambda = 0.033$

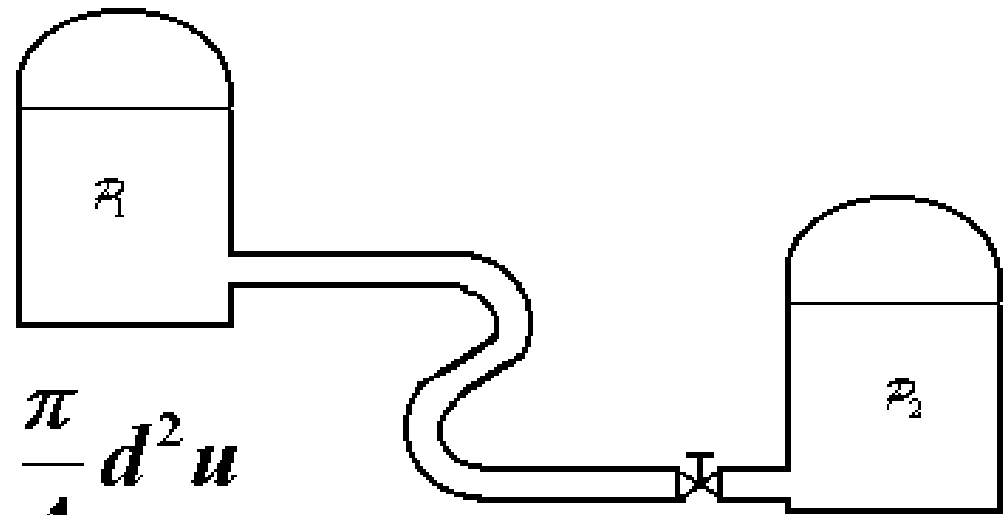
由高位槽液面至反应器液面作机械能衡算

$$Z = \frac{P}{\rho g} + \left(\lambda \frac{l}{d} + \sum \zeta \right) \frac{u^2}{2g} = \frac{10^4}{10^3 \times 9.81} + \left(0.033 \times \frac{10}{0.036} + 4 \times 0.75 + 0.17 + 1 \right) \frac{1.28^2}{2 \times 9.81} = 2.13 \text{ m}$$

6 管路计算

6.1 变量分析

6.1.1 变量



质量守恒式 $q_v = \frac{\pi}{4} d^2 u$

机械能衡算式 $\frac{P_1}{\rho} = \frac{P_2}{\rho} + \left(\lambda \frac{l}{d} + \sum \zeta \right) \frac{u^2}{2}$

摩擦系数计算式 $\lambda = \varphi \left(\frac{du\rho}{\mu}, \frac{\varepsilon}{d} \right)$

其中物性参数 μ 、 ρ 已知

设备参数 l 、 d 、 ε 、 $\Sigma\zeta$

操作参数 q_v 、 u 、 \mathcal{P}_1 、 \mathcal{P}_2

中间变量 λ

9个变量，需给定6个独立变量，可求其它3个
按计算目的可分为两类

设计型计算：给定 q_v 、 \mathcal{P}_2 、 l 、 ε 、 $\Sigma\zeta$

选择 最优 u

求 \mathcal{P}_1 、 d

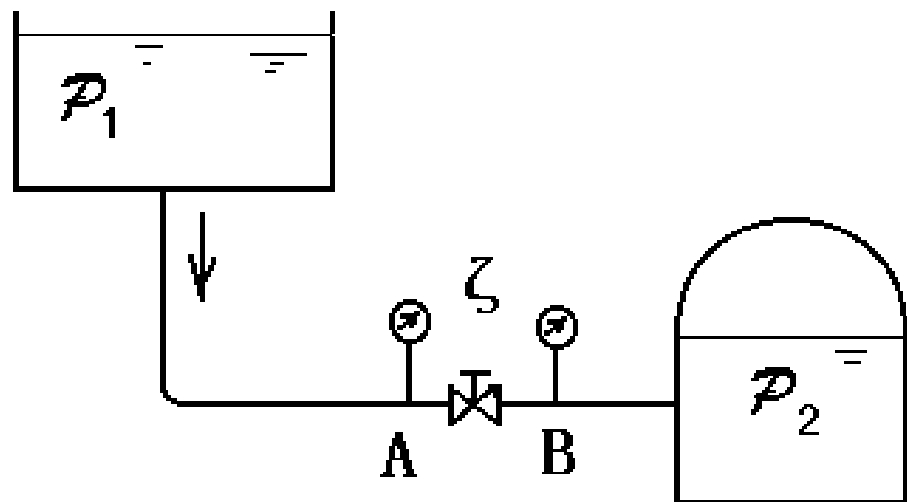
操作型计算：给定 d 、 \mathcal{P}_1 (或 V)、 \mathcal{P}_2 、 l 、 ε 、 $\Sigma\zeta$

求 q_v (或 \mathcal{P}_1)

6.1.2 阻力损失压差-管路状况-流量三者关系

$$h_f = \frac{\Delta P}{\rho} = \left(\lambda \frac{l}{d} + \sum \zeta \right) \frac{u^2}{2} = \left(\lambda \frac{l}{d} + \sum \zeta \right) \frac{8}{\pi^2 d^4} q_v^2$$

- 结论:
- ① 管路状况一定, $q_v \uparrow, h_f \uparrow$
 - ② $h_f (\Delta P)$ 一定, $\zeta \uparrow, q_v \downarrow$
 - ③ q_v 一定, $\zeta \uparrow, h_f \uparrow$



图中, $\zeta \uparrow$, 则 h_{fAB} ____,
 P_A ____, P_B ____, 为什么
若水流方向相反呢, $\zeta \uparrow$,
则 h_{fAB} ____, P_A ____, P_B ____

6.2 管路计算

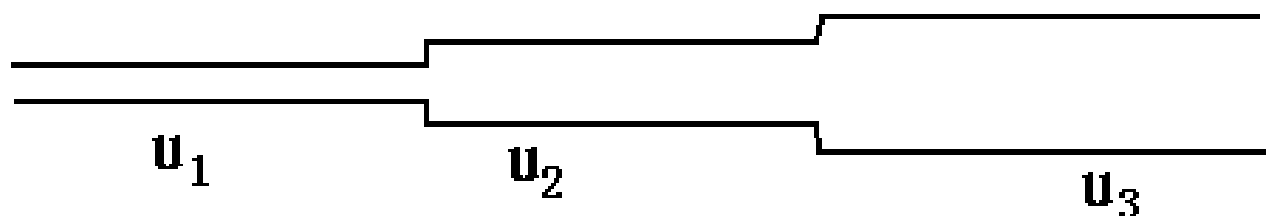
层流状态下 $\lambda = \frac{64}{\text{Re}}$ 为显函数，可直接求解

湍流状态下 $\frac{1}{\sqrt{\lambda}} = 1.74 - 2 \log \left(\frac{2\varepsilon}{d} + \frac{18.7}{\text{Re} \sqrt{\lambda}} \right)$

为隐函数，常要试差求解

常可先设 λ 在阻力平方区，再根据计算所得 Re 修正 λ

6.2.1 串联管路计算



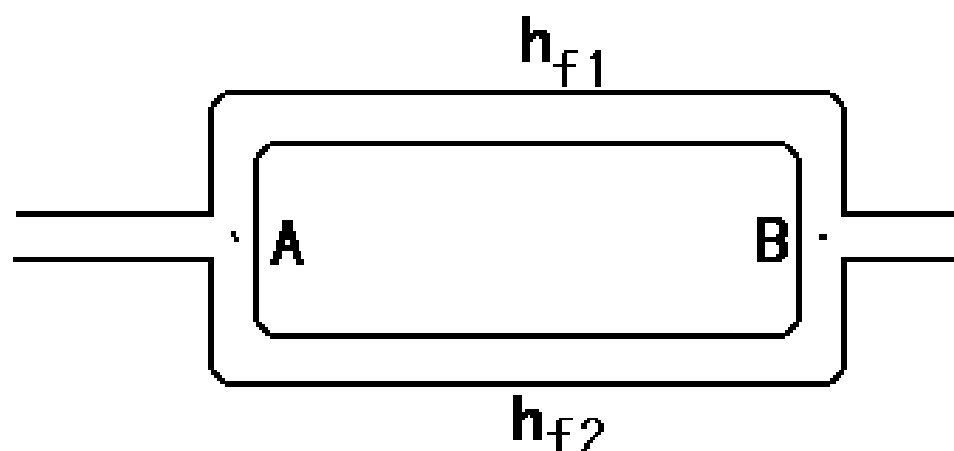
方程特点: $h_{f总} = h_{f1} + h_{f2} + h_{f3}$

$$q_v = q_{v1} = q_{v2} = q_{v3}$$

注意各段阻力计算的 u 、 l 、 d 、 λ 的不同

6.2.2 复杂管路计算

并联管路计算



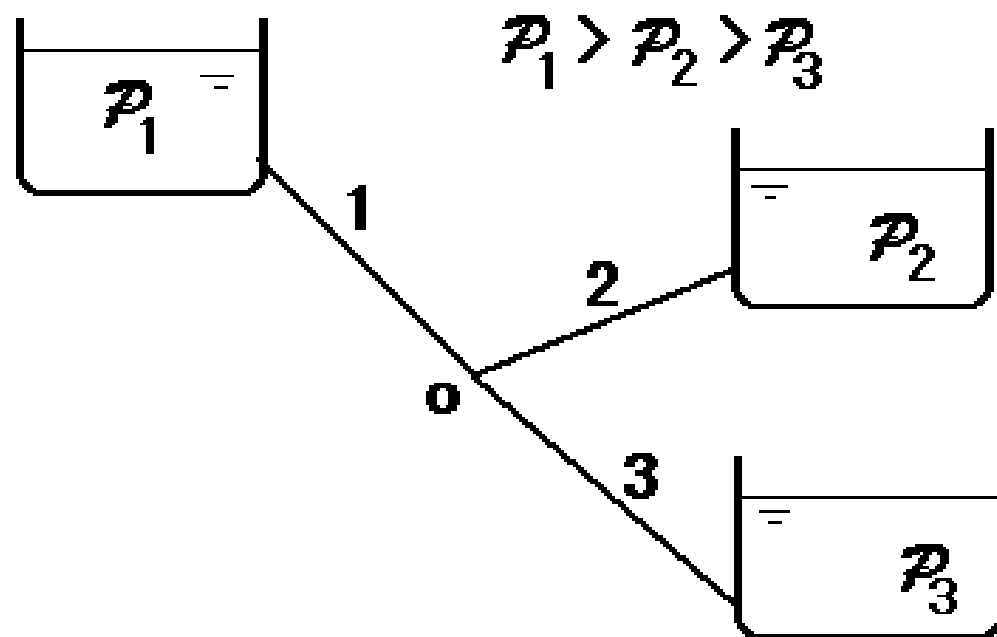
分流或合流时，有能量的损失和交换，有时 $\zeta < 0$
对于长管，三通处的阻力相对很小可忽略

方程特点：
$$\frac{P_A - P_B}{\rho} = h_{f1} = h_{f2}$$

$$q_{v总} = q_{v1} + q_{v2}$$

注意 h_f 不要重复计算

6.2.3 分支与汇合管路计算



$$P_1 - P_0 = \rho \lambda_1 \frac{8l_1}{\pi^2 d_1^5} q_{v1}^2, \text{ 有三个式子,}$$

管2的流向看 \mathcal{P}_2 与 \mathcal{P}_0 大小

$$\sum_{i=1}^3 q_{vi} = 0, \quad \text{进0点为正, 出0点为负}$$

$$q_{vi} = (\mathcal{P}_i - \mathcal{P}_0) \sqrt{\frac{\pi^2 d_i^5}{8\lambda_i l_i \rho |\mathcal{P}_i - \mathcal{P}_0|}} = (\mathcal{P}_i - \mathcal{P}_0) B_i$$

$$\sum q_{vi} = \sum \mathcal{P}_i B_i - \mathcal{P}_0 \sum B_i = 0,$$

$$\mathcal{P}_0 = \frac{\sum \mathcal{P}_i B_i}{\sum B_i}$$

设 λ_i, ρ_0

$$B_i = \sqrt{\frac{\pi^2 d_i^5}{8\lambda_i l_i \rho |\rho_i - \rho_0|}}, \quad \rho_0 = \frac{\sum \rho_i B_i}{\sum B_i}$$

$$q_{vi} = (\rho_i - \rho_0) B_i$$

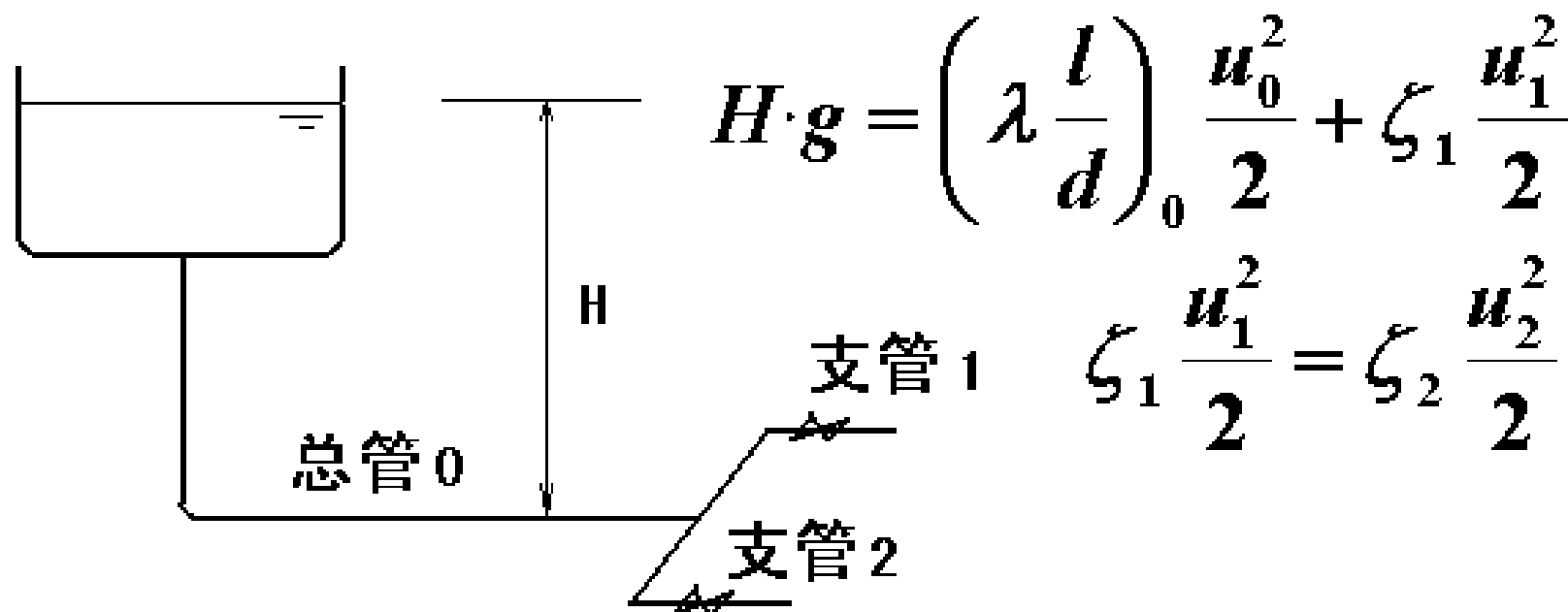
计算 λ_i

比较 λ_i, ρ_0

结束

当 $\rho_2 = \rho_3$ 时,
相当于并联管路

6.2.4 阻力控制问题



总管阻力为主时，增加分支， $q_{v\text{总管}}$ 几乎不变
支管阻力为主时，增加分支， $q_{v\text{分支}}$ 互不干扰

6.3 可压缩气体的管路计算

特殊性: ρ 为 p 的函数

机械能衡算式: $gz_1 + \frac{u_1^2}{2} + \int_{p_2}^{p_1} \frac{dp}{\rho} = gz_2 + \frac{u_2^2}{2} + h_f$

简化: ① 气体位能很小, 可忽略

② 等温流动或温差不大, $Re = \frac{du\rho}{\mu} = \frac{dG}{\mu}$

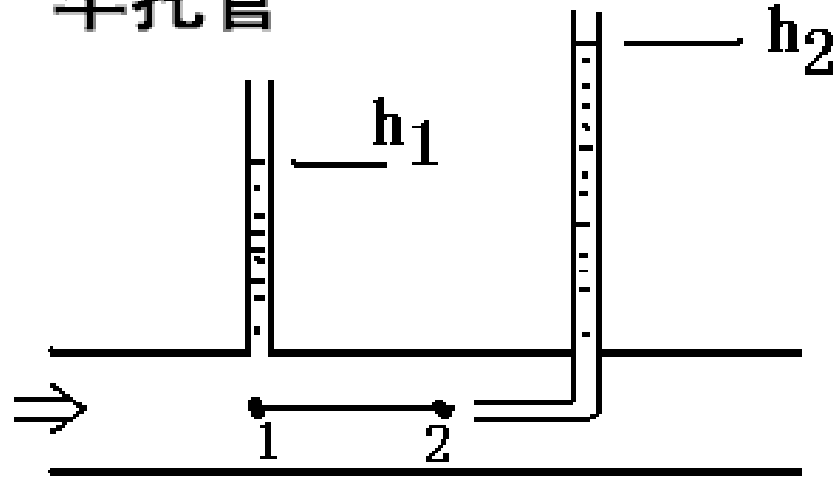
沿直管不变, λ 也不变

得
$$\frac{P_1 - P_2}{\rho_m} = \lambda \frac{l}{2d} \left(\frac{G}{\rho_m} \right)^2 + \left(\frac{G}{\rho_m} \right)^2 \ln \frac{P_1}{P_2}$$

ρ_m 为 $P_m = (P_1 + P_2)/2$ 下的密度

7 流速和流量的测量

7.1 毕托管



沿流线从1至2排
伯努利方程

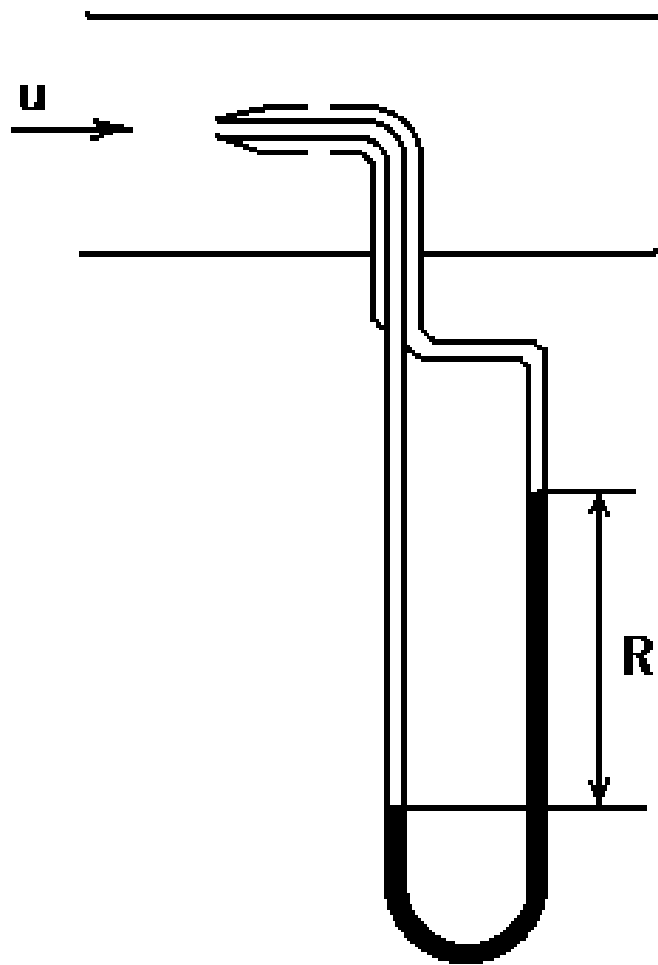
$$\frac{p_1}{\rho} + \frac{u_1^2}{2} = \frac{p_2}{\rho} + \frac{u_2^2}{2}$$

$$p_2 = p_1 + \rho \frac{u_1^2}{2}$$

冲压强 (驻点压强) 静压强 动压强

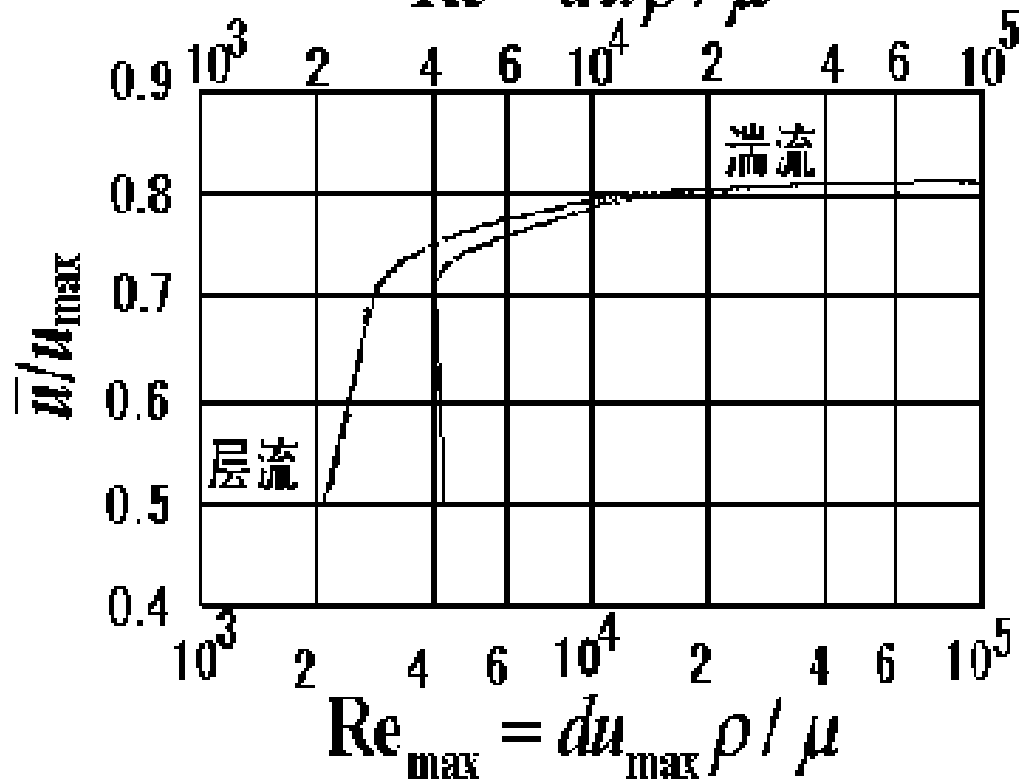
根据 h_1, h_2 的指示可算出点速度

$$u_1 = \sqrt{\frac{2(p_2 - p_1)}{\rho}} = \sqrt{2g(h_2 - h_1)}$$



$$u_{\max} = \sqrt{\frac{2R(\rho_i - \rho)g}{\rho}}$$

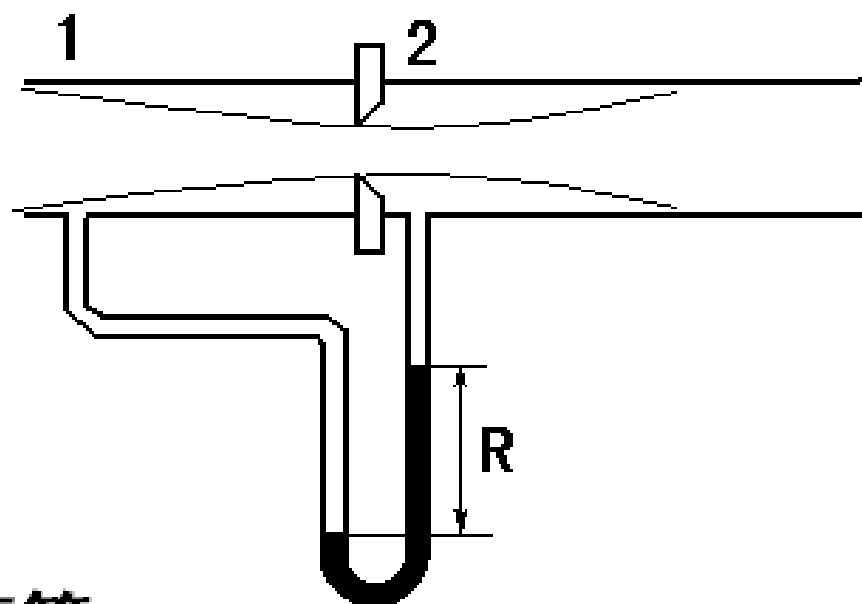
$$Re = d\bar{u}\rho/\mu$$



7.2 孔板流量计

分析处理方法:

- ① 先作 $\mu = 0$ 处理
- ② 再考虑 μ 的影响



- ① 由1至2截面作能量衡算

$$\frac{P_1}{\rho} + \frac{u_1^2}{2} = \frac{P_2}{\rho} + \frac{u_2^2}{2}$$

质量守恒

$$A_1 u_1 = A_2 u_2$$

整理后 $u_2 = \frac{1}{\sqrt{1 - \frac{A_2^2}{A_1^2}}} \sqrt{\frac{2(\mathcal{P}_1 - \mathcal{P}_2)}{\rho}}$

②考虑 μ 的影响, A_2 难以实测, 用 A_0 计

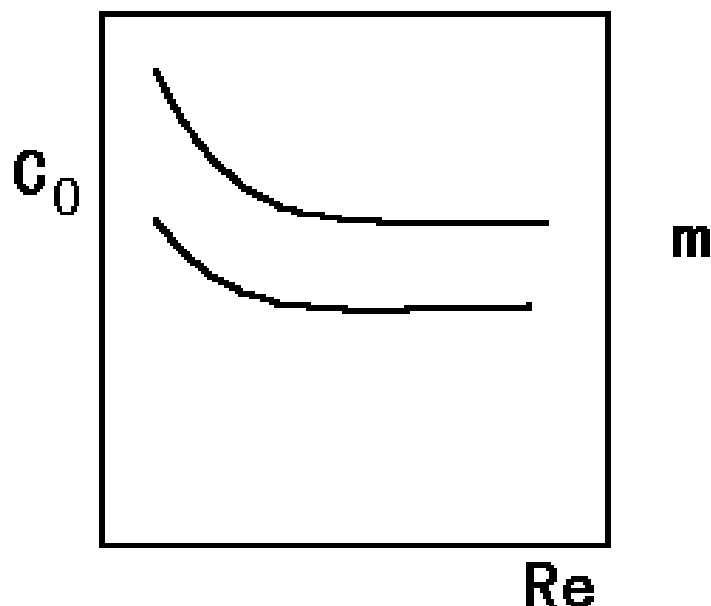
$$u_0 = \frac{C}{\sqrt{1 - \frac{A_0^2}{A_1^2}}} \sqrt{\frac{2(\mathcal{P}_1 - \mathcal{P}_2)}{\rho}} = C_0 \sqrt{\frac{2R(\rho_i - \rho)g}{\rho}}$$

$$q_v = C_0 A_0 \sqrt{\frac{2R(\rho_i - \rho)g}{\rho}}$$

$$q_v = C_0 A_0 \sqrt{\frac{2R(\rho_i - \rho)g}{\rho}}$$

$$C_0 = f(\text{Re}_d, m)$$

$$m = A_0 / A_1$$



孔板流量计的特点：结构简单，阻力损失较大

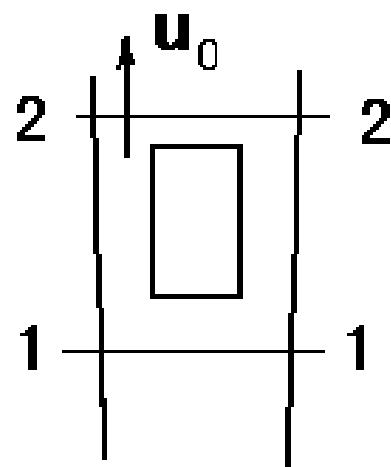
文丘里流量计特点：阻力损失较小，造价较高

7.3 转子流量计

转子力平衡: $(p_1 - p_2) A_f = V_f \rho_f g$

由1-2能量守恒式:

$$\frac{p_1}{\rho} + gz_1 + \frac{u_1^2}{2} = \frac{p_2}{\rho} + gz_2 + \frac{u_0^2}{2}$$



$$(p_1 - p_2) A_f = A_f (z_2 - z_1) \rho g + A_f \left(\frac{u_0^2}{2} - \frac{u_1^2}{2} \right) \rho$$

$$(p_1 - p_2) A_f = V_f \rho g + A_f \rho \left[1 - \left(\frac{A_0}{A_1} \right)^2 \right] \cdot \frac{u_0^2}{2}$$

$$u_0 = \frac{1}{\sqrt{1 - (A_0 / A_1)^2}} \sqrt{\frac{2V_f(\rho_f - \rho)g}{A_f \rho}}$$

$$q_v = A_0 u_0 = A_0 C_R \sqrt{\frac{2V_f(\rho_f - \rho)g}{A_f \rho}}$$

转子流量计的特点：恒流速、恒压差

刻度换算：

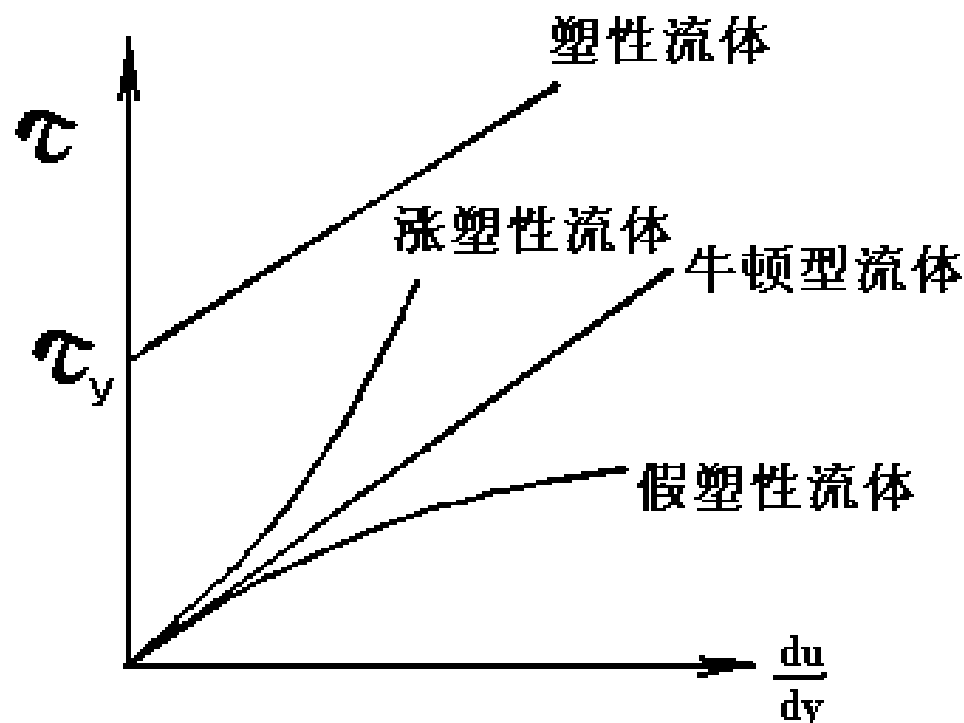
$$\frac{q_{vB}}{q_{vA}} = \sqrt{\frac{\rho_A(\rho_f - \rho_B)}{\rho_B(\rho_f - \rho_A)}}$$

出厂标准：液体 $\rho = 1000 \text{kg} / \text{m}^3$

气体 $\rho = 1.2 \text{kg} / \text{m}^3$

8 非牛顿流体的流动

8.1 非牛顿流体的基本特性



粘度 $\mu = \frac{\tau}{du / dy} = f\left(\frac{du}{dy}\right)$

剪切稀化现象—— du/dy 增加, μ 降低

幂律流体 $\tau = K \left(\frac{du}{dy} \right)^n$

塑性——具有屈服应力 $\tau = \tau_y + K \left(\frac{du}{dy} \right)^n$

粘弹性（爬杆效应, 挤出胀大, 无管虹吸）

依时性——时间增加, μ 变化

8.2 非牛顿流体的层流流动

$$\text{阻力损失 } h_f = \frac{\Delta \mathcal{P}}{\rho} = 4f \frac{l}{d} \frac{u^2}{2}$$

圆管中幂律流体流动

$$\text{层流 } q_v = \frac{\pi n}{3n + 1} \left(\frac{d}{2} \right)^{3+1/n} \left(\frac{\Delta \mathcal{P}}{2Kl} \right)^{1/n}$$

$$\text{范宁摩擦因子 } f = \frac{16}{\text{Re}_{MR}}$$

$$\text{Re}_{MR} = \frac{d^n u^{2-n} \rho}{K \left(\frac{1+3n}{4n} \right)^n 8^{n-1}}$$

8. 3 非牛顿流体的湍流流动与减阻现象

湍流
$$\frac{1}{\sqrt{f}} = \frac{4}{n^{0.75}} \log \left[\text{Re}_{MR} f^{1-n/2} \right] - \frac{0.4}{n^{1.2}}$$

湍流减阻现象

